



**INDOMET**

**Instituto Dominicano de Meteorología**

**Resumen Temporada Ciclónica 2025**

**Ing. Miguel Campusano  
Subdirector Técnico**

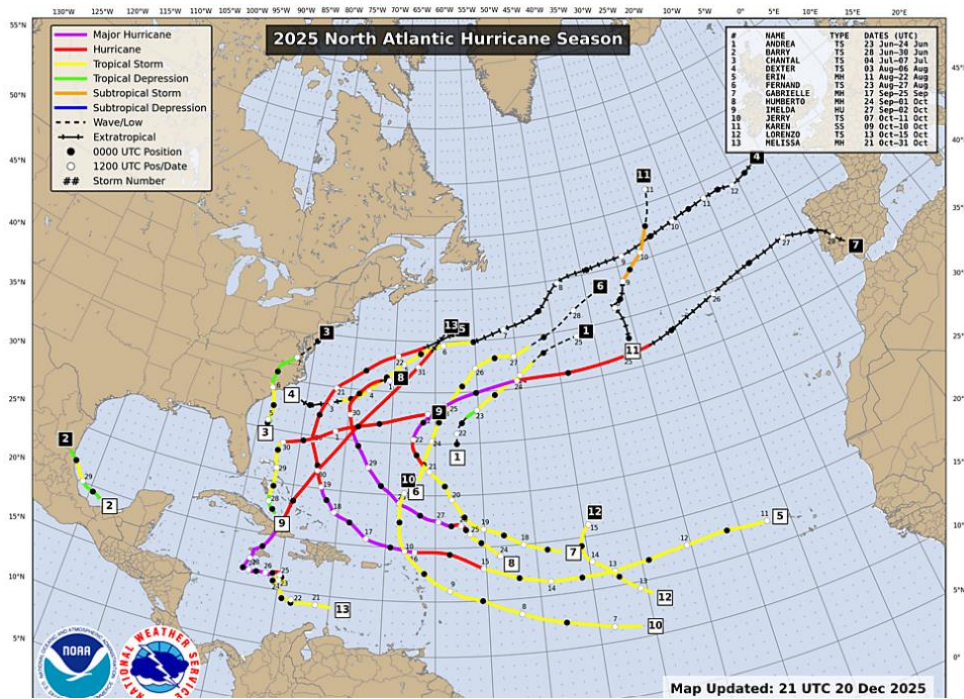


Fig.1.- Trayectorias de ciclones tropicales durante la temporada ciclónica del 2025.

## **1.- Introducción. -**

Este informe resume la actividad de ciclones tropicales del año 2025, en la cuenca Atlántica de nuestro hemisferio norte. Quien suscribe ha realizado la traducción del resumen de temporada ciclónica en inglés, preparado por los especialistas del Centro Meteorológico Regional Especializado, CMRE, Centro Nacional de Huracanes de Miami.

La temporada ciclónica del 2025 quedo por debajo del promedio de formación de ciclones tropicales nombrados, de acuerdo a la normal de la última actualización 1991-2020, con el desarrollo de 13 ciclones nombrados (14.4), 4 huracanes, por debajo de la normal (7.2) y 4 huracanes intensos, ligeramente por encima de la normal (3.2).

Los ciclones tropicales que alcanzaron solo la intensidad de tormenta fueron Andrea, Barry, Chantal, Dexter, Fernand, Jerry, Karen como subtropical y Lorenzo, mientras alcanzaron la intensidad de huracanes, Erin (Cat 5), Gabrielle (Cat 4), Humberto (Cat 5), Imelda (Cat 1) y Melissa (Cat 5).

En cuanto a la República Dominicana se refiere, aunque no se produjo un impacto directo de Melissa, en su etapa de desarrollo como una fuerte onda tropical en el este del mar Caribe, al moverse al sur del país en aguas del mar Caribe, generó lluvias importantes en los sectores noreste, este, toda la franja costera sur y el suroeste, así como alto oleaje. Por la situación de las lluvias y alto oleaje, se emitieron alertas y avisos a nivel local, entre el Servicio Meteorológico Dominicano y el Centro de Operaciones de Emergencias. No hubo la necesidad de emitir alertas o avisos en coordinación con el Centro Nacional de Huracanes.

Los daños reportados por las autoridades de protección civil, fueron mínimos, hubo dos muertes, que, de acuerdo a los protocolos, no se le atribuyeron de forma directa a Melissa

Se destacaron acumulados de lluvias entre 385 y 737 mm, en Polo, Barahona, suroeste del país, se acumularon 737.2 mm en 10 días, superando el promedio mensual para el mes de octubre de 245.9 mm, de acuerdo a la serie de datos estadísticos de 1991-2020.

**2.- Resumen individual de ciclones tropicales.** - A continuación, se resume de manera individual el comportamiento de todos los ciclones tropicales que se formaron durante la temporada ciclónica del 2025.-

## 2.1.- Tormenta Tropical Andrea. -

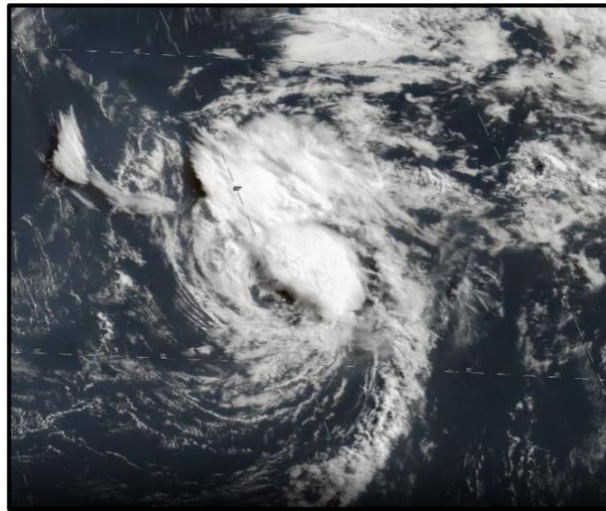


Fig.2.- Imagen satelital GEOCOLOR GOES-19 de la tormenta tropical ANDREA a las 1200 utc del 24 de junio. Imagen cortesía NOAA/NESDIS/STAR.

Andrea fue una tormenta tropical de corta vida en el Atlántico central que no afecto zona de tierra.

Andrea tuvo origen no tropical. Un área de baja presión se desarrolló a lo largo de un debilitado frente estacionario alrededor de las 0000 utc del 22 de junio cuando se ubicaba a unos 740 km al este/sureste de Bermuda. La convección se profundizó y se organizó gradualmente cerca de un bien definido centro de circulación, por lo que el sistema se convirtió en una depresión tropical a las 0600 utc del 23 de junio, cuando, se localizaba a unos 785 km al este de Bermuda.

La intensidad máxima de 65 kph entre las 1200 utc del 23 de junio a las 1200 utc del 24 de junio, estuvo confirmada por varios pasos del ASCAT, durante ese período de tiempo que mostraron vientos máximos alrededor de 65 kph. La presión mínima central estimada de 1014 milibares, se basó en la relación de presión y viento del índice de Kanff-Zehr-Courtney. Andrea fue un pequeño sistema que estuvo rodeado de un ambiente de altas presiones, lo cual, dio como resultado un campo de presión relativamente alto.

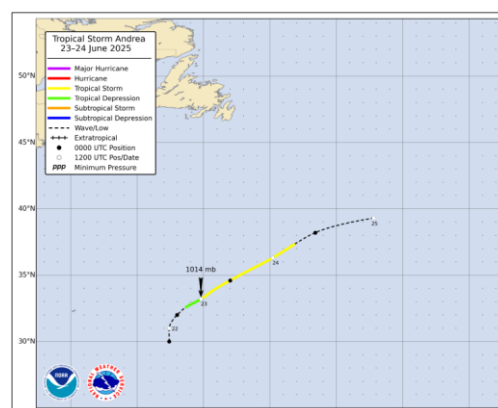
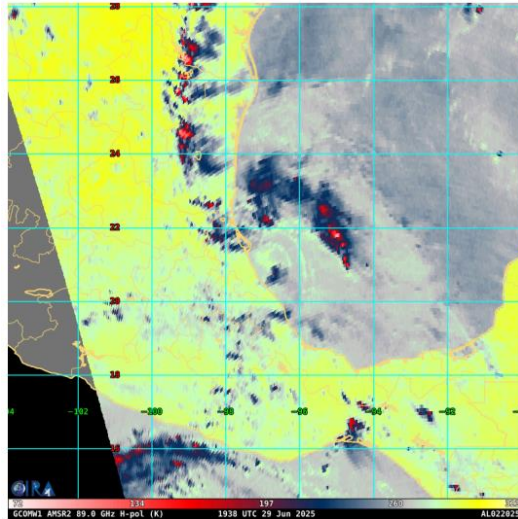


Fig.3.- Trayectoria de la tormenta tropical Andrea.

No hubo reportes de daños o muertes asociados con Andrea.

## 2.2.- Tormenta Tropical Barry. -



**Fig.4.- Imagen MICROWAVE AMSR2 de la tormenta tropical Barry a las 1938 utc el 29 de junio antes de tocar tierra en México.**

Barry fue una tormenta tropical de corta vida que se formó en la Bahía de Campeche y provocó extensas inundaciones en el este mexicano, dando como resultado 8 muertes directas en ese país.

Los orígenes de Barry son poco claros, pero una característica contribuyente fue la porción norte de una onda tropical que alcanzó a la Península de Yucatán en la mañana del 26 de junio. Una amplia área de baja presión se formó sobre la península y salió a la Bahía de Campeche la mañana del 28 de junio. Mientras la convección gradualmente se incrementó durante ese día, datos de un avión cazahuracán y del scatterometer revelaron que una circulación cerrada se había formado en la tarde, marcando la formación de una depresión tropical con vientos de 45 kph, cuando se ubicaba a unos 395 km al este de Veracruz, México, a las 1800 utc del 28 de junio. A pesar de fuertes cortantes de vientos de los oeste, temperaturas cálidas de la superficie del mar y un ambiente húmedo, fueron suficiente para que Barry se intensificara en tormenta tropical en la mañana del 29 de junio, así como lo indicó un Avión Cazahuracán de la Reserva de la Fuerza Aerea, mediante observaciones de dropsonda.

La tormenta tropical alcanzó su intensidad máxima de 75 kph a las 1800 utc antes de que la cortante vertical de vientos empezara a desplazar la convección del sistema y exponerse a la circulación de bajo nivel. Se estimó que Barry hizo impacto a las 0200 utc el 30 de junio con vientos de intensidad de depresión tropical de 55 kph, cuando se ubicaba a unos 25 km al sur de Tampico en el estado mexicano de Veracruz. La circulación poco profunda de Barry continuó hacia el oeste en tierra y se disipó sobre los terrenos montañosos del este de México a las 1200 utc del 30 de junio.

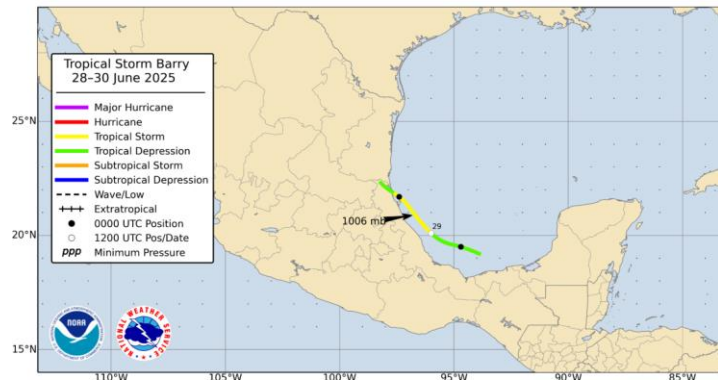


Fig.5.- Trayectoria tormenta Barry.

Barry fue responsable de al menos 8 muertes directas en México. Cuatro personas se ahogaron en vehículos arrastrados por inundaciones, tierras adentro provocadas por las lluvias. Tres de estas víctimas se encontraban en Santa María del Río y una en Ahualulco. Dos personas fueron arrastradas y fallecieron en las crecidas del río Tampoán en Tamuín. Otras dos se ahogaron por el oleaje, mientras conducían un vehículo cerca de un malecón en Veracruz. No se reportaron muertes indirectas.

Barry causó daños aproximado de 5.64 millones de dólares en México, según diversos comunicados del gobierno estatal. Las inundaciones causadas por las fuertes lluvias de Barry fueron la principal causa de daños en los estados de Tamaulipas, San Luis Potosí, Puebla y Veracruz. Miles de residencias privadas y varias escuelas se inundaron, lo que provocó la evacuación de comunidades y la suspensión de clases. Carreteras y autopistas resultaron dañadas o destruidas por el desbordamiento de ríos, arroyos, canales y deslizamientos de tierra.

### 2.3.- Tormenta tropical Chantal. -

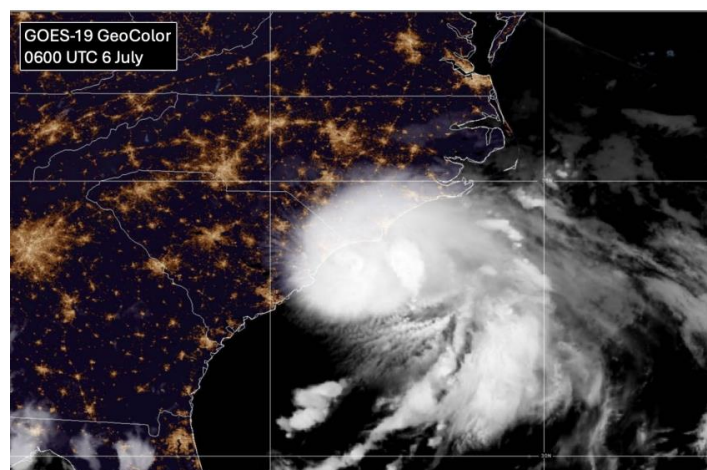


Fig.6.- Imagen GEOCOLOR GOES-19 de la tormenta tropical Chantal cerca de su intensidad máxima a las 0600 utc del 6 de julio de 2025. Imagen cortesía NOAA/NESDIS/STAR.

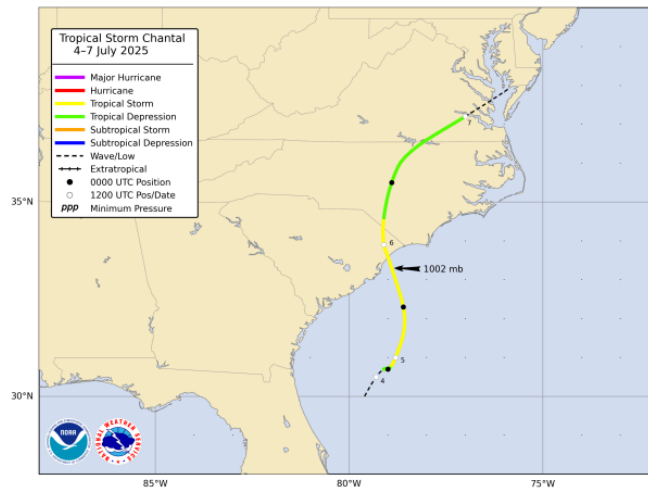
Chantal fue una tormenta tropical que se formó en aguas cercanas del sureste de los Estados Unidos e hizo impacto en el noreste de South Carolina a primeras horas de la mañana del 6 de julio. Chantal fue responsable de 6 muertes directas en North Carolina, la mayoría de las cuales fueron por fuertes lluvias que originaron inundaciones.

El origen de Chantal fue a partir de un remanente frontal que se disipo a lo largo de las aguas adyacentes norte del golfo de México y de la costa sureste de los Estados Unidos a primeras horas de la mañana del 1 de julio. A medida que perdía estas características del gradiente de temperatura restante, degeneró en una vaguada, pero aún se intensificaron de manera desorganizada los aguaceros y tormentas eléctricas sobre Florida y la zona costera norte del golfo entre el 1 y 2 de Julio. El 3 de julio, una parte de esta vaguada se movió hacia el noreste a través de la Península de La Florida, y la actividad de aguaceros y tormentas gradualmente se tornó más concentrada cerca del eje de la vaguada, mientras penetraba al oeste del Atlántico, este de la Florida. Datos del Scatterometer a primeras horas de la mañana del 4 de julio indicaron que la vaguada había desarrollado una circulación bien definida, y luego ese día una explosión convectiva se formó cerca de la circulación y persistió justo al este del centro, dando como resultado la formación de una depresión tropical a las 1800 utc del 4 de julio, aproximadamente a unos 240 km al sur/sureste de Charleston, South Carolina. La depresión se intensificó y se convirtió en la tormenta tropical Chantal 12 horas más tarde a las 0600 utc el 5 de julio.

En el momento de su formación, las corrientes conductoras atmosféricas eran ligeras y variables, debido a una vaguada de latitud media que se movía desde la zona costera de New England, lo cual generó un debilitamiento en la cuña al norte y noreste del ciclón tropical. Sin embargo, esta vaguada se inclinaba hacia el noreste, mientras una estrecha cuña a nivel medio se fortalecía al este de Chantal, permitiendo que el ciclón girara hacia el norte y noroeste el 5 de julio. Las condiciones ambientales no fueron especialmente favorables para su intensificación, con una cortante de vientos cortantes y algo de aire seco a nivel medio, que se infiltró en la circulación en el lado oeste. Sin embargo, las temperaturas de la superficie del mar entre 28 y 29°C, apoyaron explosiones adicionales de convección el 5 de julio, lo cual dio como resultado una intensificación gradual. Una combinación de datos de velocidad de aviones de reconocimiento de la Reserva de La Fuerza Aérea y del NWS WSR-88D de Wilmington, Carolina del Norte.

La combinación de datos de velocidad de aviones de reconocimiento de la Reserva de la Fuerza Aérea y del NWS WSR-88D de Wilmington, Carolina del Norte, indicaron que Chantal alcanzó su intensidad máxima de 92 kph a las 0600 utc el 6 de julio, cuando el sistema se ubicaba a unos 35 km al sur de Myrtle Beach, South Carolina. Alrededor de ese momento, la convección estuvo organizada en una banda a lo largo del flanco norte del ciclón. Mientras el ciclón se acercaba a la costa, la estructura convectiva disminuyó, y Chantal hizo impacto a las 0800 utc del 6 de julio con vientos de tormenta tropical de 85 kph cerca de Lichfield Beach, South Carolina.

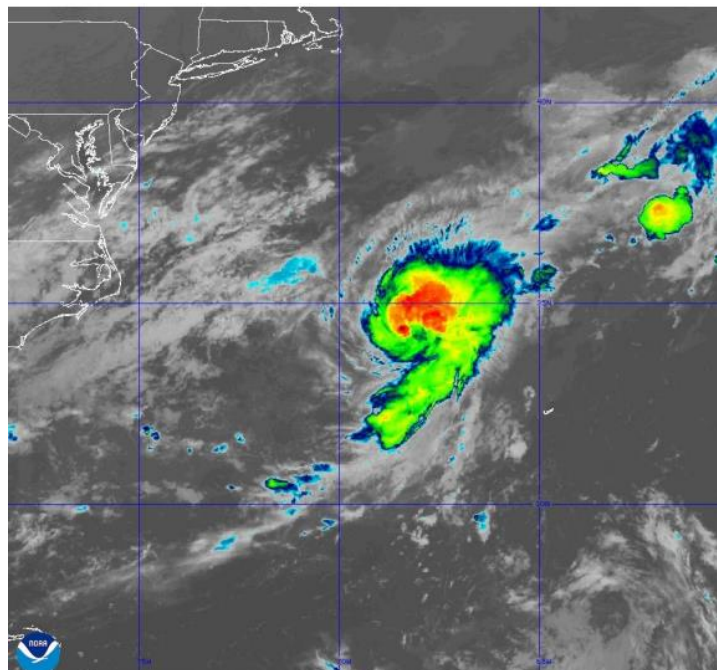
Después de hacer impacto, Chantal de manera constante se debilitó, degenerando en depresión tropical justo después de las 1200 utc del 6 de Julio, así como la circulación se movía hacia el nor/noroeste y cruzó por North Carolina. Incluso el sistema debilitado esa tarde, sustancial humedad a nivel bajo y cortante de vientos moderados contribuyeron al desarrollo de una banda mejorada de precipitación cerca del área metropolitana de Raleigh-Durhan, dando como resultado crecidas repentinas e inundaciones urbanas durante el anochecer y la noche entre el 6 y 7 de julio. Esta convección menguó a las 1200 utc del 7 de julio, y Chantal degeneró en un remanente de baja post-tropical a las 1200 utc de ese día, mientras se movía hacia el noreste por Virginia. La baja remanente persistió en otras 6 a 12 horas antes de convertirse en una vaguada a las 0000 utc del 8 de julio, mientras se movía en aguas adyacentes de la Península de Delmarva.



**Fig.7.- Trayectoria tormenta tropical Chantal.**

Se registraron 6 muertes directas asociadas con Chantal, la mayoría de ellas relacionadas con inundaciones ocurridas en Carolina del Norte. Cuatro muertes se debieron a personas que se encontraban en vehículos sumergidos o arrastrados por las aguas de la inundación, y dos muertes estuvieron relacionadas con el mar, ocurridas en las últimas horas del 6 de julio, cuando dos hombres se ahogaron tras navegar en una canoa por un lago durante las fuertes lluvias e inundaciones repentinas causadas por Chantal. Cabe destacar que hubo una muerte por corriente de resaca alrededor de las 16:00 UTC del 4 de julio en Kure Beach, Carolina del Norte. Sin embargo, esta muerte ocurrió justo antes de la formación de Chantal y se considera más relacionada con el gradiente de presión del patrón meteorológico sinóptico, que contribuyó a generar fuertes corrientes de resaca al norte de Chantal antes de su formación.

**2.4.- Tormenta Tropical Dexter.-**



**Fig.8.- Imagen IR GOES-EAST de la tormenta tropical DEXTER a las 0330 utc del 4 de agosto 2026. Imagen cortesía NOAA/NESDIS/STAR**

Dexter fue una tormenta en el Atlántico occidental que no afectó zona de tierra.

Dexter se originó de un frente estacionario sobre el Atlántico occidental cerca de la costa sureste de los Estados Unidos. Una baja no tropical se formó a lo largo del frente alrededor de las 1800 utc del 2 de agosto, en aguas cercanas de las Carolinas, y datos de ASCAT esa tarde confirmaron, que la circulación de vientos a nivel bajo se había tornado mejor organizada. La porción del frente que se extendió hacia el oeste/suroeste de la baja, se disipó durante la mañana del 3 de agosto, así como se desarrollaban vientos galernosos en el cuadrante sureste. A primeras horas de esa tarde, la convección rápidamente se tornó mucho mejor organizada, mientras el frente que se extendía hacia el este/noreste de la baja se debilitó. Se estimó que el ciclón originado a partir de este frente se convirtió en la tormenta tropical Dexter alrededor de las 18000 utc del 3 de agosto, cuando se ubicaba a unos 600 km al oeste/noroeste de Bermuda.

La intensidad máxima de 90 kph de Dexter mientras fue un ciclón tropical ocurrió entre las 1200 y las 1800 utc del 6 de agosto, y se basó por estimaciones de intensidad de ADT, AiDt, DPRINT y SATCON de la Universidad de Wisconsin-CIMSS, todas intensidades máximas en el rango de 90 y 100 kph. En ese momento también, las estimaciones subjetivas de la Técnica de Dvorak de TAFB y SAB, indicaron máximos de T3.0/45 kt, 85 kph.

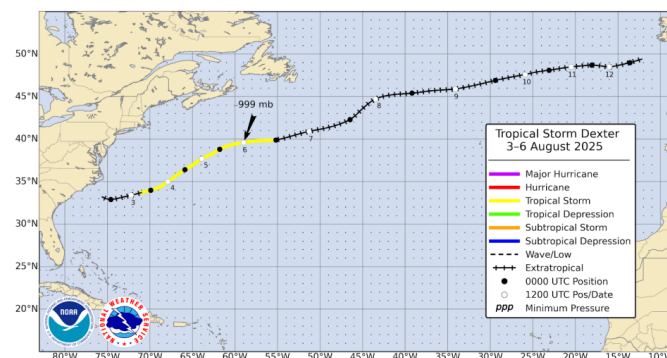


Fig.9.- Trayectoria tormenta tropical DEXTER.

No hubo reportes de daños o muertes asociados con Dexter.

## 2.5.- Huracán Erin. -

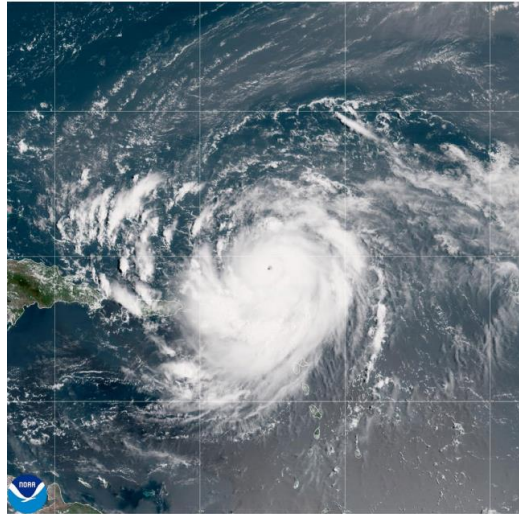


Fig.10.- Imagen GEOCOLOR GOES 19 del huracán Erin casi alcanzando su intensidad máxima a las 1430 utc del 16 de agosto de 2025. Cortesía NOAA/NESDIS/STAR.

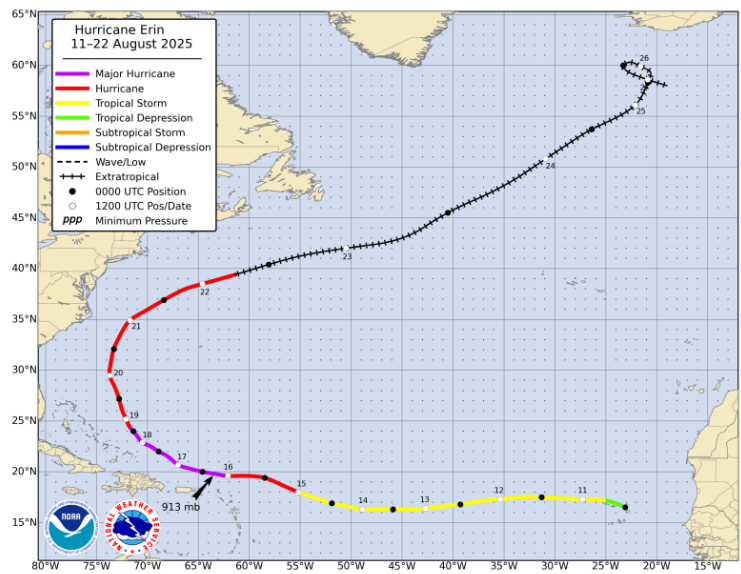
Erin fue un huracán tipo Cabo Verde, grande y de larga vida que alcanzó categoría 5 de acuerdo a la Escala de Intensidad de Huracanes Saffir-Simpson. Se movió en una trayectoria parabólica alrededor del Océano Atlántico Norte y produjo impactos por alto oleajes y corrientes de resacas en gran parte de la costa Atlántica de los Estados Unidos, provocando 13 muertes directas.

Erin se originó de una onda tropical que se movió de la costa occidental de África el 8 de agosto. En los siguientes dos días, un área de baja presión asociada con la onda se movió lentamente hacia el oeste y oeste/noroeste saliendo de la costa de África hacia las Islas de Cabo Verde. Cuando el sistema se aproximó al este de Las Islas de Cabo Verde, un área consolidada de convección se formó, y el sistema adquirió una circulación suficientemente bien definida, y así pudo ser considerada como una depresión tropical, mientras se ubicaba justamente al suroeste de la Isla Sal alrededor de las 0000 utc del 11 de agosto. El sistema se movió cambiando ligeramente hacia el norte, de su trayectoria original oeste y se convirtió en tormenta tropical, mientras hacía impacto en la Isla de Santo Antao en el noroeste de las Islas de Cabo Verde a las 0600 utc del 11 de agosto.

Después de una intensificación inicial ligera en una intensidad de unos 75 kph, Erin se movió hacia el oeste y oeste/suroeste a través del Atlántico tropical del 11 al 13 de agosto con pocos cambios en su intensidad, probablemente debido al aire relativamente seco y temperaturas de la superficie del mar marginalmente favorables. Una cuña de nivel medio bien definida al norte del ciclón tropical, mantuvo al sistema principalmente con un curso hacia el oeste durante el inicio de la vida de Erin. La tormenta experimentó poca intensificación hasta el 14 de agosto, cuando la convección del sistema aumentó en su cobertura y organización. A las 1200 utc del 15 de agosto, Erin se intensificó y alcanzó la intensidad de huracán, mientras se ubicaba a unos 695 km al este de sector más norte de las Islas de Sotavento. Un ligero debilitamiento en la cuña, provocó que el sistema girara hacia el oeste/noroeste. Más tarde el 15 de agosto y a primeras horas del día 16, el huracán giro nuevamente hacia el oeste, mientras se movía sobre aguas más cálidas, y empezó a intensificarse rápidamente. En un período de 12 horas, desde las 0600 a las 1800 utc del 16 de agosto, los vientos máximos de Erin se incrementaron a unos 85 kph

y su presión central descendió unos 4.5 milibares por hora. El huracán alcanzó su intensidad máxima de 260 kph, categoría 5, con una presión mínima central de unos 913 milibares alrededor de las 1800 utc de ese día, mientras definía un ojo, cuando se centraba a unos 150 km al noreste de la isla Anegada, en el sector más norte de las Islas Vírgenes Británicas. Alrededor de ese momento, observaciones del avión, indicaron que Erin desarrolló paredes del ojo concéntricas, y el huracán empezó a debilitarse luego el 16 de agosto. Las porciones externas de la circulación de Erin sobre las Islas Vírgenes Británicas y de Puerto Rico, llevaron vientos de intensidad de tormenta a algunas de esas áreas el 17 de agosto, mientras pasaba a unos 185 km al norte de Puerto Rico, el sistema giró hacia el oeste/noroeste y enfiló hacia una debilitada cuña subtropical. El ojo se tornó menos definido de acuerdo a las imágenes satelitales, y los vientos máximos de Erin disminuyeron a unos 205 kph. El huracán giró hacia el noroeste el 18 de agosto, y su ojo adquirió una mejor definición. Reportes de un avión cazahuracán indicaron que el sistema tuvo una reintensificación con un segundo pico en su intensidad de aproximadamente unos 220 kph alrededor de las 1200 utc del 18 de agosto, mientras se localizaba a unos 165 km al nor/noreste de Grand Turk, en las Bahamas. El debilitamiento y la reintensificación del huracán desde el 16 al 18 de agosto coincidió con el debilitamiento de la pared interna del ojo y el subsecuente reemplazo de la pared externa del ojo durante ese período. Erin provocó algunos vientos en ráfagas sobre las Islas Turcas y Caicos y los sectores sureste de Las Bahamas entre el 18 y 19 de agosto.

Después de alcanzar su segundo pico en intensidad, Erin giró hacia el nor/noroeste, moviéndose a lo largo de la periferia oeste de la cuña subtropical anticiclónica en la troposfera media. El huracán se debilitó el 19 de agosto debido al incremento de la cortante vertical de vientos del oeste, lo cual dio como resultado, en que el patrón de nubes se tornara asimétrico. Los vientos máximos de Erin disminuyeron a unos 155 kph a las 1200 utc de ese día. Sin embargo, la cortante rápidamente disminuyó, el patrón nuboso se hizo más simétrico, y el huracán se intensificó nuevamente. Erin alcanzó un tercer pico de intensidad de 175 kph a las 1200 utc del 20 de agosto, mientras se ubicaba entre la península de La Florida y Bermuda, mientras su circulación continuaba expandiéndose. Observaciones del avión cazahuracán indicaron que los vientos más fuertes estuvieron localizados bien al este del centro. Erin giro hacia el norte mientras continuaba moviéndose en el lado oeste del anticiclón. El sistema luego giró hacia el nor/noreste y noreste con un gradual incremento en su velocidad de desplazamiento el 21 de agosto, pasando a unos 325 km al sureste de Cabo Hatteras, alrededor de las 0600 utc de ese día. La porción externa de la circulación oeste de Erin llevó condiciones de tormenta tropical a sectores de North Carolina y la línea costera central del Atlántico. El ciclón se debilitó muy lentamente y aceleró hacia el noreste y este/noreste, así como se acercaba a las corrientes del oeste de latitudes medias. El 22 de agosto, el patrón nuboso del sistema tomo una apariencia frontal, y Erin se convirtió en un ciclón extratropical con fuerza de huracán alrededor de las 1800 utc de ese día. Del 23 al 24 de agosto, el sistema se movió aún más rápido hacia el noreste a través del Atlántico norte, mientras mantenía su intensidad con fuerza de huracán. Más adelante el 24 de agosto y los días 25 y 26 de agosto, el ciclón se movió mucho más lentamente, mientras hacía un loop a pocos cientos de km al sur de Islandia, pero seguía debilitándose. El sistema interactuó con otra baja extratropical entre Islandia e Irlanda el 27 de agosto.



**Fig.11.- Trayectoria huracán Erin.**

Trece muertes estuvieron directamente atribuidas a Erin. Hubo 7 muertes debido a ahogamiento por inundaciones por lluvias reportadas en Sao Vicente en las Islas de Cabo Verde. Tres personas se ahogaron debido a corrientes de resacas en Puerto Rico. Una persona se ahogó, presuntamente debido a corrientes de resacas, en La Romana en el este de la República Dominicana. Hubo también una corriente de resaca en Sailors Haven en Fire Island, New York, y uno también por corriente de resaca en Hampton Beach, New Hampshire.

En Outer Banks de North Carolina, olas extremadamente grandes, además de la marejada ciclónica, rompieron estructuras de dunas en ciertas zonas vulnerables, cubriendo las carreteras con arena y agua. Dos estructuras en Buxton sufrieron daños importantes. Las inundaciones provocaron el cierre de la Carretera 12 de Carolina del Norte (que bordea los Outer Banks) en la ensenada de Oregón. El daño total estimado en Carolina del Norte fue de aproximadamente \$3.1 millones, principalmente en la comunidad de Buxton, en el condado de Dare.

Decenas de personas tuvieron que ser rescatadas de vehículos y restaurantes varados tras la crecida de las aguas en Margate City, en la costa de Jersey.

El impacto en Bermudas fue leve, con cortes de electricidad mínimos en toda la isla.

## 2.6.- -Tormenta Tropical Fernand.-

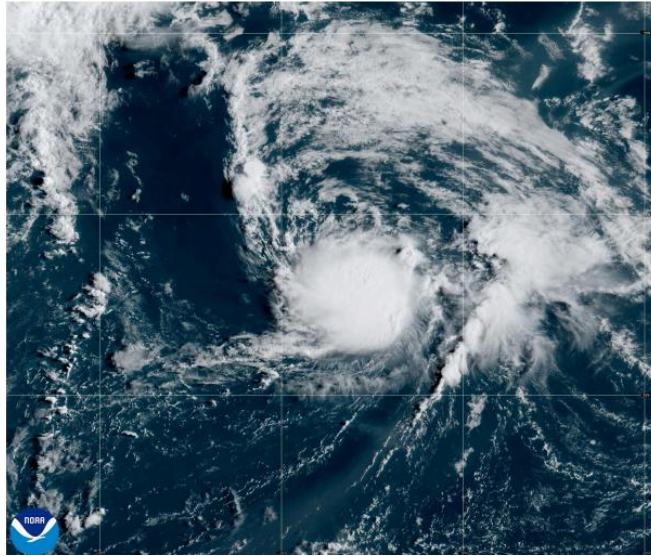


Fig.12.- Imagen satelital GEOCOLOR GOES-19 de la tormenta tropical Fernand a las 1200 utc del 25 de agosto. Cortesía NOAA/NESDIS/STAR.

Fernand fue una tormenta tropical en el Atlántico occidental que no afectó zona de tierra.

Fernand se desarrolló de una porción de una onda tropical que se movió desde la costa occidental de África entre el 14 y el 15 de agosto. La onda se movió hacia el oeste a través del Océano Atlántico tropical durante unos 7 días. A pocos cientos de km al este de Las Antillas Menores entre el 21 y el 22 de agosto, el sector norte de la onda giró hacia el noroeste y norte y su convección se organizó mejor. Alrededor de las 1800 utc del 23 de agosto, datos de un avión cazahuracán de la Fuerza Aérea de los Estados Unidos, indicaron que el sistema desarrolló una circulación bien definida marcando la formación de la tormenta tropical, cuando se ubicaba a unos 860 km al sur/sureste de Bermuda.

La intensidad máxima de 90 kph estuvo apoyada por el paso del ASCAT desde la 1343 utc del 25 de agosto, presentando un vector máximo de 88 kph. La presión mínima central de 999 inicialmente se basó en la relación de presión-viento de Knaff-Zehr-Courtney.

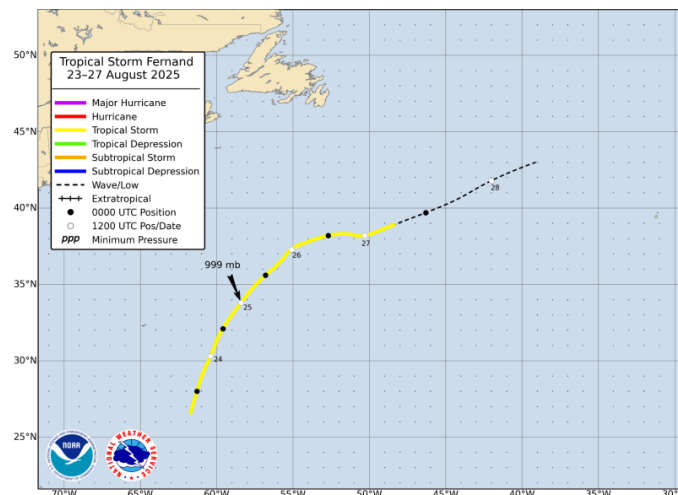


Fig.13.- Trayectoria Tormenta Tropical Fernand

No hubo reportes de daños o muertes asociados con Fernand.

## **2.7.- Huracán Gabrielle.-**

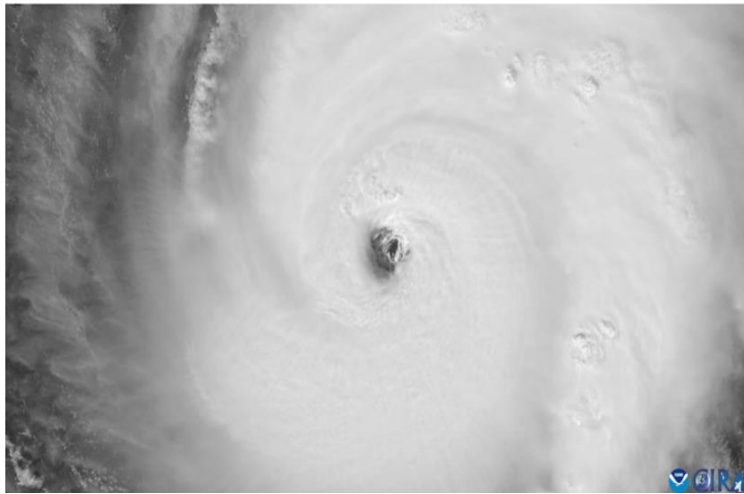


Fig.14.- Imagen VIIRS NOAA-21 VISIBLE del Huracán Gabrielle a las 1706 utc del 22 septiembre 2025, justo antes de alcanzar su intensidad máxima. Imagen cortesía NOAA/CIRA.

Gabrielle fue un huracán categoría 4, de acuerdo a la Escala de Intensidad de Huracanes Saffir-Simpson, que tomó una trayectoria climatología a través del Atlántico tropical, recurvando hacia el noreste de las Islas de Sotavento y de Bermuda. Mas adelante afectó a Las Azores con ráfagas con intensidad de vientos de huracán como un ciclón post-tropical.

Gabrielle se desarrolló de una onda tropical que salió de la costa occidental de Africa a primeras horas de la mañana del 12 de septiembre. La onda tropical produjo solamente una convección desorganizada en sus inicios, luego la actividad de tormentas inició su concentración en el extremo sur del eje de la onda en horas de la tarde y noche del 14 de septiembre. La actividad convectiva generó la formación de una amplia área de baja presión en la parte central, entre la costa occidental de Africa y las Islas de Barlovento. El sistema se movió hacia el oeste/noroeste y la convección se incrementó un poco más el 16 de septiembre, con vientos galerosos detectados mediante datos del scatterometer al final de ese día. Sin embargo, la circulación de bajo nivel permaneció muy alargada, y en un intento de definir mejor su circulación en el lado sur de la onda, resultó insuficiente a primeras horas del 17 de septiembre. La convección se reenforzó en el lado norte de la onda al medio día debido a un forzamiento de una vaguada cercana a nivel alto, generando la formación de una amplia pero bien definida circulación y un centro en superficie, lo cual marcó la génesis de la tormenta tropical Gabrielle alrededor de las 1800 utc del 17 de septiembre a unos 1840 km al este de la parte norte de Las Islas de Sotavento.

La tormenta se movió hacia el oeste/noroeste o noroeste en los siguientes días después de su formación debido a una cuña subtropical al noreste. La cortante vertical de vientos provocados por una vaguada a nivel alto, permaneció fuerte hasta el 19 de septiembre, llevando inicialmente pocos cambios en la intensidad. La convección se incrementó esa noche y, dentro de temperaturas de la superficie del mar más cálidas y ambiente de cortante débil, Gabrielle finalmente inició su intensificación el 20 de septiembre. La proporción fue gradual a inicios aún con aire seco incrustado en su circulación, pero este cambio notable, al siguiente día se debió a la formación de un núcleo interno y un

ambiente de alta humedad a nivel medio. Una rápida intensificación empezó en horas finales del 21 de septiembre y en ese momento se convirtió en huracán, y se definió ojo que se presentó al siguiente día, mediante la imagen satelital. Gabrielle giró hacia el norte a través de una abertura en la cuña subtropical, y datos de avión y de satélites indicaron que Gabrielle había alcanzado su intensidad máxima de 220 kph, cerca de las 0000 utc del 23 de septiembre cuando se ubicaba a unos 315 km al este de Bermuda.

Después de alcanzar su intensidad máxima, el huracán giro hacia el este/noreste y empezó a moverse más rápido debido al aumento de una corriente de vientos a latitud media. Gabrielle gradualmente perdió intensidad en horas finales del 23 de septiembre y durante el 24 de septiembre, mientras se encontraba con temperaturas de la superficie del mar más frescas e incremento de los vientos cortantes. Datos de imágenes satelitales y del Scatterometer indicaron que Gabrielle perdió la intensidad de huracán y sus características tropicales a las 1800 utc del 25 de septiembre, a unos pocos cientos de km al oeste/suroeste de las Azores. La aún potente baja, se movió a través de Las Azores a primeras horas de la mañana del siguiente día con vientos en ráfagas con intensidad de huracán y más tarde, se reintensificó como una baja extratropical con vientos máximos sostenidos de huracán cerca de las 0000 utc del 27 de septiembre. El ciclón post-tropical luego redujo su movimiento y gradualmente se debilitó, moviéndose sobre el norte de Portugal a primeras horas de la mañana del 28 de septiembre, antes de degenerar en una vaguada en la tarde de ese día cerca del sur de España.

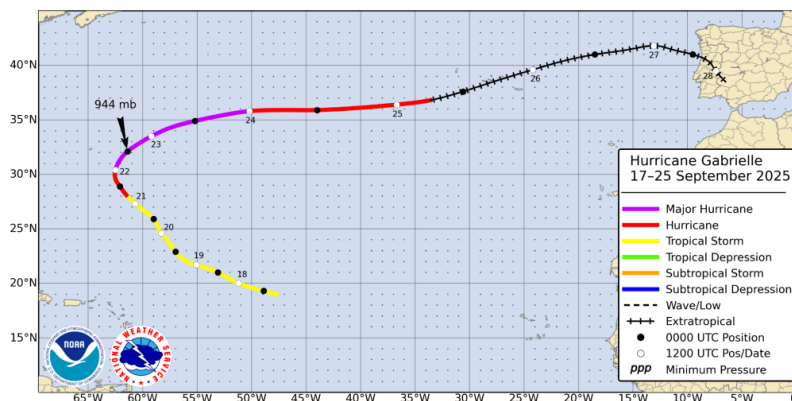


Fig.15.- Trayectoria del huracán Gabrielle.

No hubo muertos directos o lesionados por Gabrielle, y los daños reportados a través de las Azores fueron generalmente ligeros. Los efectos iniciales fueron a amplia escala en edificios gubernamentales y de escuelas, con caídas de árboles, postes de electricidad, y daños en algunos techos, por reportes de los Servicios de Protección Civil de Las Azores.

## 2.8.- Huracán Humberto. -

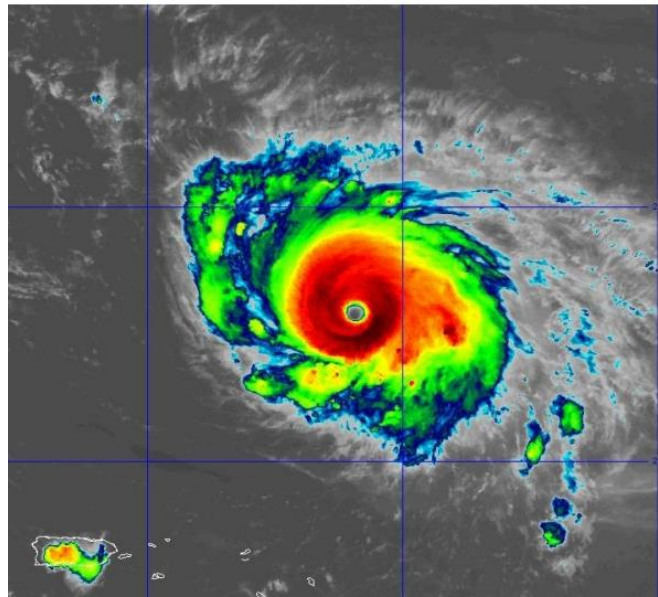


Fig.16.- Imagen Infrarrojo GOES-EAST del huracán Humberto a las 2000 utc del 20 de septiembre de 2025 en el momento de su intensidad máxima. Imagen Cortesía NOAA/NESDIS/STAR.

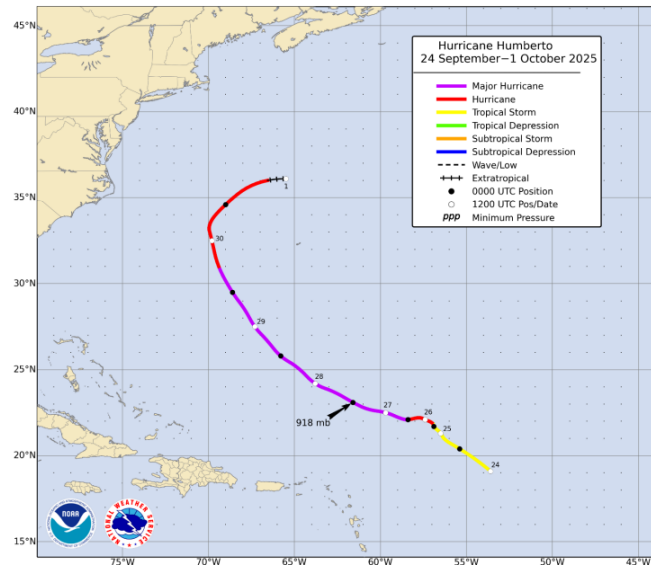
Humberto se formó sobre el Atlántico tropical y alcanzó la categoría 5 de acuerdo a la Escala de Intensidad de Huracanes, Saffir-Simpson. A pesar de que Humberto no impactó directamente zona de tierra, paso suficientemente cerca de Bermuda, para activar una alerta de tormenta tropical para la isla.

Humberto se originó de una onda tropical que salió de la costa occidental de Africa entre el 18 y 19 de septiembre. La onda inicialmente fue arropada por aire seco y estable, hasta después de cruzar los 40° oeste a primeras horas de la mañana del 22 de septiembre. La convección se incrementó al siguiente día, mientras se detectaba una amplia circulación ciclónica en los niveles bajos de la atmósfera. Imágenes de satélites del canal visible indicaron que se había formado una circulación con buena definición a nivel bajo con suficiente organización convectiva el 24 de septiembre, estimándose que se había formado la tormenta tropical Humberto a las 1200 utc de ese día, cuando se localizaba a unos 970 km al este/noreste del sector norte de las Islas de Sotavento. En el momento de su génesis, los vientos con intensidad de tormenta se presentaban en el semicírculo este, por datos basados en scatterometer (ASCAT), 12 horas más temprano.

Inicialmente, Humberto estuvo bajo un ambiente de cortante vertical de vientos moderados, pero fue capaz gradualmente de intensificarse el 25 de septiembre debido a cálidas temperaturas de la superficie del mar y humedad a niveles bajos y medios de la troposfera. Humberto se intensificó como una tormenta con vientos de 110 kph a las 0000 utc del 26 de septiembre cuando se ubicaba a unos 740 km al noreste del sector norte de las Islas de Sotavento. El ciclón se movió generalmente hacia el oeste/noroeste, durante los primeros días de su existencia a lo largo de la periferia suroeste de la cuña subtropical. Sin embargo, una vaguada en altura en latitudes medias al norte, temporalmente debilitó a la cuña, lo cual provocó que el movimiento de Humberto disminuyera a unos 9 kph o menos desde las 1200 utc del 25 de septiembre hasta las 0600 utc del 27 de septiembre. Una vez que nuevamente la cuña se fortaleció, Humberto retomó su movimiento más a la velocidad típica y hacia el oeste/noroeste, pasando bien norte de las Islas de Sotavento en la tarde del 27 de septiembre. La cortante de vientos del oeste anteriormente mencionada

disminuyó el 26 de septiembre, permitiendo el establecimiento de un núcleo central. Humberto empezó un período de 42 horas de rápida intensificación de una tormenta con vientos de 110 kph a un huracán categoría 5 con vientos de 260 kph, desde las 0000 utc del 26 de septiembre hasta las 1800 utc del 27 de septiembre. Humberto fue localizado a unos 555 km al nor/noreste del norte de Las Islas de Sotavento, cerca del momento de alcanzar la intensidad de categoría 5.

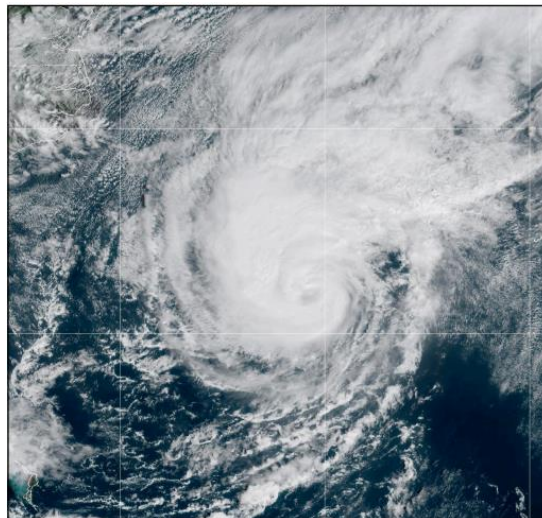
El 28 de septiembre, Humberto se sometió a un proceso de ciclo de reemplazo de la pared del ojo, así como giraba hacia el noroeste sobre las aguas suroeste del Océano Atlántico. El ciclo de reemplazo del ojo fue un proceso muy gradual, tomando en completarse unas 36 horas, y el huracán exhibió una estructura de doble pared del ojo por un período de tiempo inusual. En el momento de la intensidad máxima en la tarde del 27 de septiembre, bandas convectivas ya estaban empezando a organizarse dentro de un anillo exterior en formación. A primeras horas de la tarde del siguiente día, el anillo convectivo externo se había cerrado, intensificándose, y contrayéndose, pero el anillo interno todavía era prominente. Varias horas más tarde, datos de Radar de Apertura Sintética del RADARSAT-2 a las 2222 utc del 28 de septiembre y de vientos colectados alrededor de las 0000 utc del 29 de septiembre por el Avion Cazahuracán de la Reserva de la Fuerza Aerea de los Estados Unidos, ambos indicaron una estructura doble de vientos máximos, con vientos más fuertes en la pared externa del ojo que los vientos en la pared interna en todos los cuadrantes. Como resultado del Ciclo de Reemplazo de la Pared del ojo, Humberto se debilitó con vientos de 260 kph a las 0000 utc del 28 de septiembre a vientos de 220 kph, 24 horas más tarde. Después del periodo del Ciclo de Reemplazo de la pared del ojo, datos de un avión cazahuracán indicaron que Humberto se reintensificó ligeramente con vientos de 230 kph a las 1200 utc del 29 de septiembre mientras se localizaba a unos 580 km al sur/suroeste de Bermuda. Más adelante, la cortante de vientos se incrementó y gradualmente las temperaturas de la superficie del mar disminuyeron, llevando a Humberto a un rápido debilitamiento, así como giraba hacia el norte, bien al oeste de Bermuda, entre la cuña subtropical a su este y del huracán Imelda al oeste/suroeste. Los huracanes Humberto e Imelda hicieron sus impactos bien cerca uno del otro alrededor de las 1800 utc del 30 de septiembre, con Imelda centrada a unos 750 km al suroeste de Humberto. El 1 de octubre, Humberto aceleró hacia el este/noreste dirigiéndose al hoyo de una vaguada en latitudes medias e hizo su transición a un ciclón extratropical con vientos de 120 kph a las 1200 utc, así como interactuaba con un frente, a unos 425 km al norte de Bermuda. La circulación superficial de Humberto luego se tornó extremadamente alargada y se disipó dentro de una superficie frontal en la tarde de ese día. Fue interesante observar que el huracán Imelda interactuó con la misma potencia en la vaguada de latitud media y que luego se asoció a un frente frío al siguiente día.



**Fig.17.- Trayectoria Huracán Humberto.**

No hubo reportes de daños o muertes por Humberto.

## **2.9.- Huracán Imelda.-**



**Fig.18.- Imagen satelital GEOCOLOR GOES-EAST del huracán Imelda a las 1500 utc del 1 de octubre 2025. Imagen cortesía de NOAA/NESDIS/STAR.**

Imelda se movió a través del noroeste y centro de Las Bahamas como una onda tropical antes de girar hacia el este/noreste y pasar justo al sur del Bermuda como un huracán categoría 1, de acuerdo a la Escala de Intensidad de Huracanes Saffir-Simpson. Las fuertes lluvias producidas por Imelda y su predecesora onda tropical dejó tres muertes en las Antillas Mayores.

Imelda se originó de una onda tropical que se movió desde la costa occidental de Africa el 16 de septiembre. La onda produjo algunos aguaceros y tormentas de forma desorganizada, al moverse hacia el oeste a unos 28 kph y pasando sobre Las Islas de Cabo

Verde el 17 de septiembre. La actividad convectiva disminuyó en los siguientes días, así como la onda se movía a través de un ambiente de aire seco a nivel medio sobre el Atlántico tropical oriental y central. Los aguaceros y las tormentas luego gradualmente se incrementaron, pero permaneció desorganizada, entre el 21 y 22 de septiembre, mientras la onda se acercaba a las Islas de Sotavento. Moviéndose hacia el oeste/noroeste, la onda convectivamente activa, cruzó a las Islas de Sotavento el 23 de septiembre y luego llevó vientos rafagosos y fuertes lluvias a Puerto Rico y a las Islas Vírgenes, mientras cruzaba la región entre el 24 y 25 de septiembre. Los aguaceros y las tormentas empezaron a mostrar signos de incremento y organización entre la tarde del 25 y el 26 de septiembre, mientras el disturbio pasaba sobre la Española y el este de Cuba. Sin embargo, imágenes de satélites y datos del scatterometer indicaron que la onda tropical aún carecía de un centro cerrado de circulación. Dada la alta probabilidad de desarrollo y la amenaza de condiciones de tormenta tropical a zona de tierra, el Centro Nacional de Huracanes inició boletines del Potencial Ciclón Tropical #9 a las 2100 utc del 26 de septiembre. En ese momento, el amplio vórtice de máxima vorticidad a nivel bajo, se ubicaba a unos 90 km al nor/noroeste del extremo oriental de Cuba.

El disturbio se movió lentamente hacia el noroeste entre el 26 y 27 de septiembre a lo largo del suroeste de una extensa cuña subtropical en el Atlántico occidental. Durante ese tiempo no estuvo significativamente organizada, y datos de una dropsonda de un avión cazahuracán indicó que el sistema permanecía como una vaguada abierta a nivel de superficie entre el este de Cuba y el sureste de Las Bahamas. La circulación de bajo nivel se tornó más organizada de acuerdo a imágenes satelitales, más tarde el 27 de septiembre, y la convección estuvo suficientemente organizada, marcando así la formación de una depresión tropical a las 0000 utc del 28 de septiembre, cuando se localizaba a unos 445 km al sur de la Islas Gran Abaco en el noroeste de Las Bahamas. Luego, las bandas convectivas se tornaron más pronunciadas en el lado este de la circulación, y la depresión se intensificó en la tormenta tropical Imelda las 1800 utc del 28 de septiembre cuando se ubicaba a unos 285 km al sur de Gran Abaco. A pesar de que el vórtice estuvo inclinado con la altura, debido a la cortante moderada del sur, Imelda gradualmente se intensificó sobre aguas con temperaturas por encima de los 30°C cerca de Las Bahamas, mientras se movía hacia el norte a lo largo del lado oeste de la cuña subtropical. Imelda hizo impacto como una tormenta tropical con vientos de 85 kph en Grand Abaco alrededor de las 1200 utc del 29 de septiembre.

La intensificación de Imelda continuó luego el 29 de septiembre, mientras el sistema se movía sobre aguas con temperaturas entre 28 y 29°C al norte de Las Bahamas, pero luego la intensidad se niveló a primeras horas del 30 de septiembre mientras continuaban los vientos cortantes e intrusión de aire seco, que interrumpieron la organización convectiva de Imelda y dejó brevemente expuesto el centro a nivel bajo. Mientras tanto, el avance de Imelda hacia el norte se desaceleró a medida que el cercano huracán Humberto, localizado un poco más de unos 740 km al este de Imelda, debilitó la cuña subtropical en el Atlántico occidental. En respuesta, Imelda giró bruscamente dentro del flujo del suroeste por delante de una vaguada a nivel medio en el este de los Estados Unidos. La intensificación se reanudó más tarde el 30 de septiembre, cuando la convección nuevamente del núcleo interno se consolidó alrededor del centro de Imelda, convirtiéndose en huracán a las 1200 UTC de ese día, a unos 275 km al norte de Gran Ábaco.

La divergencia en niveles superiores asociada a la vaguada superior y las cálidas temperaturas superficiales del mar contribuyeron al fortalecimiento continuo del ciclón el 1 de octubre, a medida que Imelda aceleraba hacia el este-noreste, rumbo a Bermudas. Un ojo irregular se hizo evidente en las imágenes satelitales, e Imelda alcanzó una intensidad máxima de 150 kph a las 12:00 utc del 1 de octubre, cuando su centro se encontraba a unos 655 km al oeste/suroeste de Bermudas.

La transición empezó, así como Imelda continuaba interactuaba con una vaguada en altura que se acercaba a Bermuda. Intrusiones de aire seco empezaron a erosionar el núcleo interno, y la convección se desplazó hacia el norte del centro del ciclón. En adición, el campo de vientos creció en tamaño y empezó a ser asimétrico, con una banda estrecha de vientos fuertes que circundaron los lados norte y oeste de la circulación, mientras Imelda empezaba a interactuar con un frente cercano. El centro de Imelda pasaba entre unos 10 y 20 km al sur de Bermuda en las primeras horas de la mañana del 2 de octubre, con Imelda haciendo su aproximación más cercana a la isla alrededor de las 0300 utc como un huracán con vientos de 150 kph. Datos del Radar de Apertura Sintética más tarde de esa mañana, indicaron que Imelda se convirtió en una baja frontal y que había completado su transición extratropical a las 1200 utc del 2 de octubre, mientras se ubicaba a unos 370 km al este/noreste de Bermuda. El poderoso ciclón continuó hacia el este/noreste durante las primeras horas del 3 de octubre, luego giró hacia el norte y brevemente se intensificó en una baja extratropical con vientos de intensidad de huracán a las 0000 utc del 4 de octubre. Luego, el sistema aceleró hacia el noreste sobre el Atlántico norte y gradualmente comenzaba a ser absorbido en los siguientes dos días por otro sistema frontal a las 0600 utc el 6 de octubre.

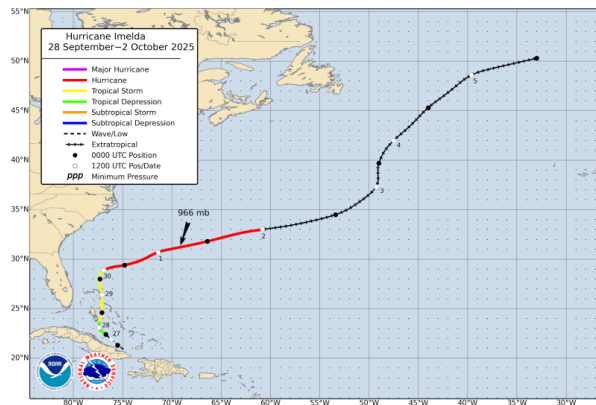


Fig.19.- Trayectoria huracán Imelda.

Imelda fue responsable de dos muertes directas en la provincia de Santiago de Cuba, al este de Cuba, debido a inundaciones por crecidas de ríos, incluyendo la de un hombre de 60 años que murió en un deslizamiento de tierra tras las fuertes lluvias. En Puerto Rico, un hombre de 36 años se ahogó, cuando su automóvil fue arrastrado por las inundaciones después de que las fuertes lluvias provocaran el desbordamiento del río Yauco el 24 de septiembre. Esta muerte se atribuye a la onda tropical precursora a partir de la que se formó Imelda. No se dispone de estimaciones oficiales de daños al momento de este informe.

### **Sureste de Estados Unidos.**

Las fuertes marejadas de Imelda y del lejano huracán Humberto, provocaron un período prolongado de fuerte oleaje y olas destructivas a lo largo de la costa sureste de Estados Unidos. En Florida, las autoridades de los condados de Brevard y Volusia observaron erosión de playas, de leve a moderada. Más al norte, en los Outer Banks de Carolina del Norte, la erosión de playas más significativa causada por el embate de las olas, provocó el derrumbe de seis viviendas desocupadas en Buxton.

### **Antillas Mayores. -**

Imelda y su onda tropical precesora produjeron inundaciones dañinas en partes de Puerto Rico, República Dominicana, Haití y Cuba. En Puerto Rico, varios deslizamientos de tierra bloquearon carreteras y otras carreteras fueron inundadas por ríos crecidos. También se reportaron algunos árboles y postes de servicios públicos caídos. En República Dominicana, 2 casas fueron destruidas y casi 1,000 casas fueron dañadas por inundaciones. Las inundaciones de los ríos aislaron temporalmente a algunas comunidades y los vientos rafagosos provocaron la caída de algunos árboles que bloquearon carreteras y dañaron un par de casas. También, las inundaciones afectaron a 35 comunidades en Haití y causaron daños significativos a los cultivos. En el este de Cuba, las inundaciones y deslizamientos de tierra aislaron a 17 comunidades en la provincia de Santiago de Cuba, afectando a más de 24,000 personas. Más de 18,000 personas fueron evacuadas en la provincia de Guantánamo y se reportaron carreteras y puentes dañados donde ocurrieron numerosos deslizamientos de tierra e inundaciones repentinas extensas.

### **Las Bahamas**

No se reportaron daños estructurales importantes en las Bahamas. Se produjeron inundaciones significativas en algunos sectores de Nassau y comunidades aledañas en la isla de Nueva Providencia, incluyendo Carmichael, Pinewood Gardens, Gamble Heights, Fox Hill, Bel Air Estates y West Grove. Numerosas casas y edificios se inundaron, incluyendo alrededor de 100 casas en Carmichael. Algunos residentes y vehículos quedaron varados por las inundaciones, y se realizaron varios rescates acuáticos. Más de una docena de escuelas en Nueva Providencia, Gran Bahama y Ábaco cerraron debido a la preocupación por las inundaciones. Las ráfagas de viento derribaron algunas líneas eléctricas, provocaron cortes de electricidad generalizados reportados en Ábaco y más de 1,500 clientes afectados en Nueva Providencia.

### **Bermuda. -**

No se produjeron daños significativos ni víctimas en Bermudas. Fuertes vientos derribaron algunos árboles y cables eléctricos en toda la isla, y cerca de 18.000 clientes se quedaron sin electricidad en el momento más crítico del evento. En la parroquia de Pembroke, el techo de un antiguo hotel se desprendió y una pared exterior se derrumbó, dañando un vehículo cercano.

## **2.10.- Tormenta tropical Jerry. -**

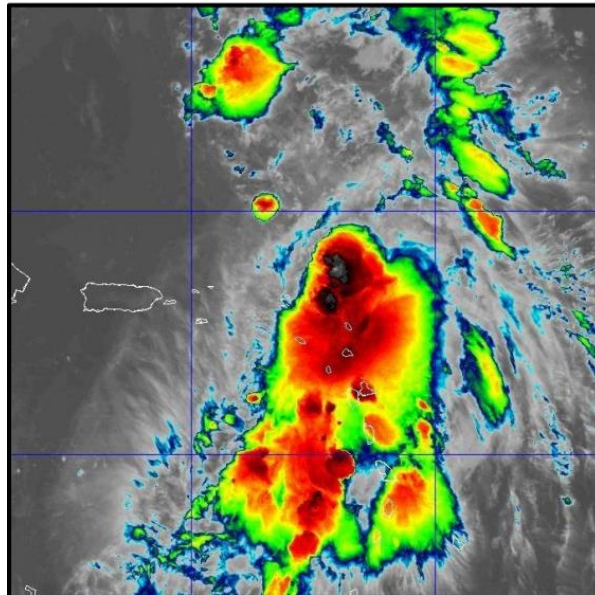


Fig.20.- Imagen satelital infrarrojo GOES-19 de la tormenta tropical Jerry a las 1250 utc del 10 de octubre cuando se localizaba cerca del norte de Las Islas de Sotavento. Imagen cortesía NOAA/NESDIS/STAR

Jerry fue una tormenta tropical que produjo inundaciones significativas a través de Las Islas de Sotavento. Las fuertes lluvias de Jerry e inundaciones asociadas dejaron como resultado un muerto en Guadalupe.

El sistema precursor de Jerry fue una onda tropical que se movió desde la costa occidental de África el 3 de octubre. La onda progresó rápidamente dirigiéndose hacia el oeste a través del Atlántico tropical oriental y central en los siguientes días, acompañada por explosiones intermitentes de convección. Esta actividad tormentosa gradualmente se tornó más organizada, y una circulación con buena definición se desarrolló a las 0600 utc del 7 de octubre, cuando se ubicaba a unos 2035 km al este de Las Islas de Barlovento, marcando la formación del sistema en un ciclón tropical. Debido a que el sistema ya estaba produciendo vientos de 65 kph en el momento de su génesis, fue designado como tormenta tropical en el instante de la formación.

Jerry se movió rápidamente hacia el oeste/noroeste después de su formación, desplazándose al sur del lado suroeste de la cuña subtropical. El rápido movimiento de la tormenta, combinada con moderados a fuertes vientos cortantes e intrusión de aire seco, mantuvieron al ciclón asimétrico y con lenta intensificación, Jerry alcanzó su intensidad máxima de 100 kph alrededor de las 1200 utc del 8 de octubre cuando se localizaba a unos 1010 km al este/sureste de las Islas de Sotavento. Imágenes satelitales en ese momento mostraron una estructura notablemente asimétrica, con el centro parcialmente expuesto hacia el extremo noroeste de la masa convectiva primaria.

Jerry mantuvo su intensidad máxima durante casi un día, mientras se movía hacia las Islas de Sotavento. La tormenta desaceleró y giró hacia el noroeste cuando alcanzaba la periferia suroeste de la cuña el 9 de octubre, y empezó a debilitarse. Jerry hizo su acercamiento más próximo al sector norte de las Islas de Sotavento alrededor de las 0000 utc del 10 de octubre, cuando se ubicaba a unos 45 km al este de Barbuda. Debido a la

asimetría del ciclón, la mayor parte de los vientos fuertes y las fuertes lluvias permanecieron en aguas cercanas durante el tiempo que Jerry estuvo bien cerca de las islas, aunque fuertes lluvias y vientos con intensidad de tormenta tropical se esparcieron a través de la región en la tarde de ese día, cuando se movió al norte del área.

En la tarde del 10 de octubre, Jerry giró hacia el norte mientras se posicionaba a unos 275 km al nor/noreste de Las Islas Vírgenes Británicas, y continuó gradualmente debilitándose. El sistema degeneró en una vaguada brevemente después de las 1200 utc del 11 de octubre sobre el Atlántico suroeste a unos pocos cientos de km al nor/noreste de Puerto Rico. Los remanentes de Jerry giraron al noreste en los siguientes días, y se formó una nueva baja con buena definición el 14 de octubre, cuando se ubicaba sobre el Atlántico central subtropical. Sin embargo, la actividad de aguaceros de la baja nunca se tornó suficientemente organizada, para que el sistema fuera reclasificado como un ciclón tropical, y la baja finalmente interactuó con un sistema frontal dos días más tarde.

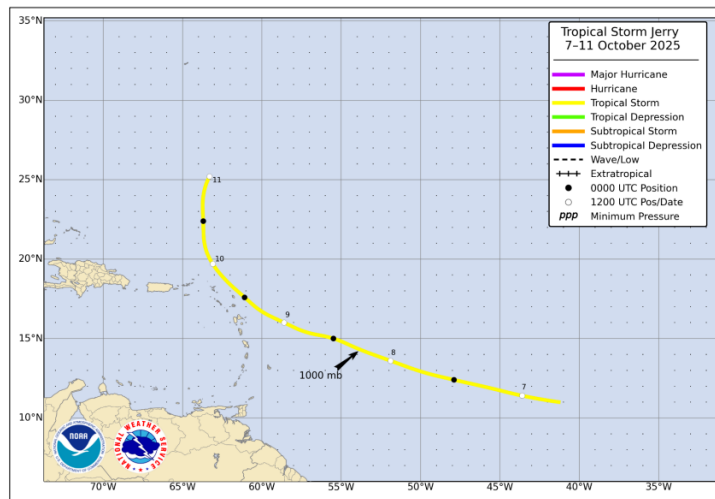
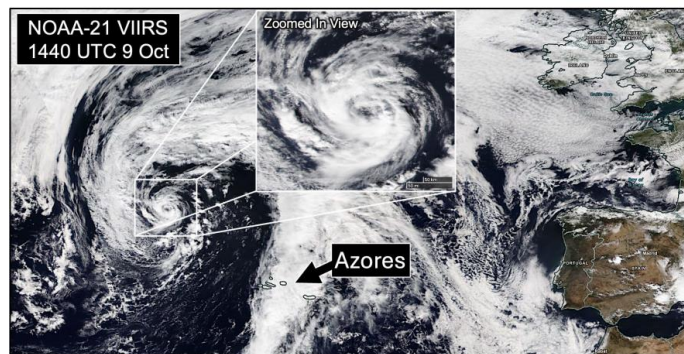


Fig.21.- Trayectoria tormenta tropical Jerry.

Se confirmó una muerte directa asociada con la tormenta tropical Jerry. En Guadalupe, un hombre se ahogó en su vehículo tras ser sumergido por la rápida crecida de las aguas cerca de Le Moule. Un remolcador también encalló en la zona, y sus siete ocupantes fueron rescatados sanos y salvos. Se produjeron cortes de electricidad e inundaciones generalizadas en todo Guadalupe, lo que provocó numerosos cierres de carreteras. Se reportaron impactos similares en las islas cercanas, donde importantes inundaciones repentinas causaron daños generalizados en viviendas y negocios. En Antigua, los informes indicaron inundaciones considerables y daños en el techo del edificio del Servicio Meteorológico.

## **2.11.- Tormenta subtropical Karen.-**



**Fig.22.- Imagen VIIRS NOAA-21 a las 1440 utc del 9 de octubre, mostrando a la tormenta subtropical Karen incrustada en un amplio sistema de latitud media después de convertirse en tormenta subtropical. Cortesía NASA WORLVIEW**

Karen fue una tormenta subtropical de alta latitud que se formó bien al noroeste de Las Azores. La ubicación de la génesis de Karen fue bien lejos al norte que un ciclón tropical o subtropical se haya formado de acuerdo a los registros del Centro Nacional de Huracanes.

Karen tuvo origen no tropical a partir de un sistema de baja presión frontal formado y que interactuaba una amplificada vaguada a nivel alto a primeras horas de la mañana del 8 de octubre. Esta baja frontal rápidamente se ocluyó a las 1200 utc de ese día, así como la vaguada corta de alto nivel se superpuso sobre la circulación de bajo nivel. Al siguiente día, la baja ocluida se movió lentamente hacia el noreste, así como la convección poco profunda empezó a desarrollarse más cerca al centro. Este cambio resultó en frentes descompuestos, así como el gradiente de temperatura disminuía. A primeras horas de la mañana del 9 de octubre, un Radar de Apertura Sintética, Sentinel-1<sup>a</sup> pasó, adicionándose además el paso del scatterometer, indicando que la baja no estaba ligada a características frontales, estuvo produciendo vientos entre 65 y 75 kph, y su radio de vientos máximos experimentaron una reducción de unos 28 km. Durante ese periodo, el sistema fue también clasificado como un ciclón subtropical por TAFB. usando la técnica de Hebert-Poteat. De este modo, se estimó que la baja se había convertido en la tormenta subtropical Karen con vientos máximos sostenidos de 75 kph a las 1200 utc del 9 de octubre, cuando se ubicaba a unos 555 km al noroeste del extremo norte de las islas Azores. Durante y el corto tiempo de formación, el sistema estuvo produciendo bandas convectivas organizadas, las cuales fueron observadas por imágenes satelitales de microwave y geostacionario, con unas zonas bien marcadas que aparecieron cerca de su centro.

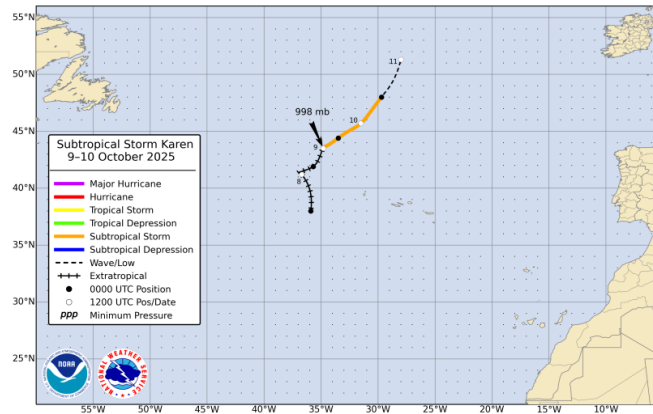


Fig.23.- Trayectoria tormenta subtropical Karen.

No hubo reportes de daños ni de muertes asociados con Karen.

## 2.12.- Tormenta Tropical Lorenzo. -

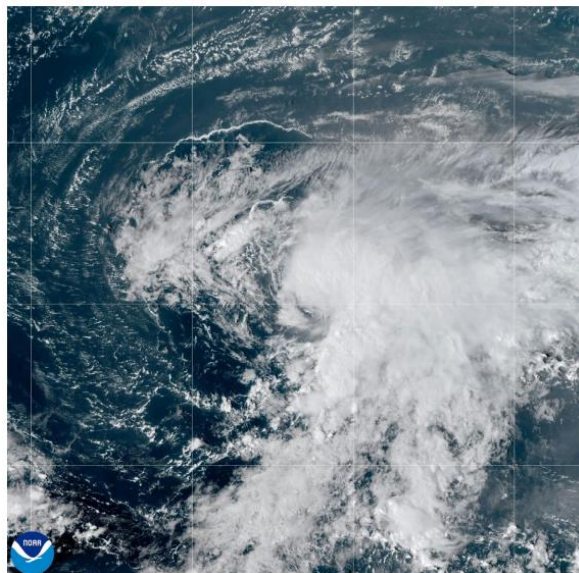


Fig.24.- Imagen GEOCOLOR GOES-19 de Lorenzo a las 1800 utc del 13 de octubre de 2025. Cortesía NOAA/NESDIS/STAR.

Lorenzo fue una tormenta tropical que estuvo en el Atlántico tropical oriental y central, lejos de zona de tierra.

Lorenzo se formó de una onda tropical de baja latitud que se movió desde la costa occidental de África el 9 de octubre. El sistema primeramente mostró signos convectivos de organización el 11 de octubre, y al siguiente día desarrolló un área de vientos de 65 km al noreste de su centro, de vorticidad incrustada dentro de una vaguada. A las 0600 utc del 13 de octubre, se desarrolló circulación bien definida, acompañada de una organizada convección, y se estimó que se había formado la tormenta tropical Lorenzo en ese momento, cuando se ubicaba a unos 1665 km al oeste de las Islas de Cabo Verde.

La intensidad máxima de Lorenzo de 90 kph fue confirmada por los múltiples pasajes de ASCAT, que mostraron vectores máximos alrededor de 85 kph cerca de las 0000 utc del 14 de octubre, con probabilidad de que los vientos máximos estuvieron submuestreados.

La presión mínima central estimada de 1000 milibares se basó en la relación de viento-presión de Knaff-Zehr-Courtney para la intensidad y tamaño de la tormenta tropical Lorenzo.

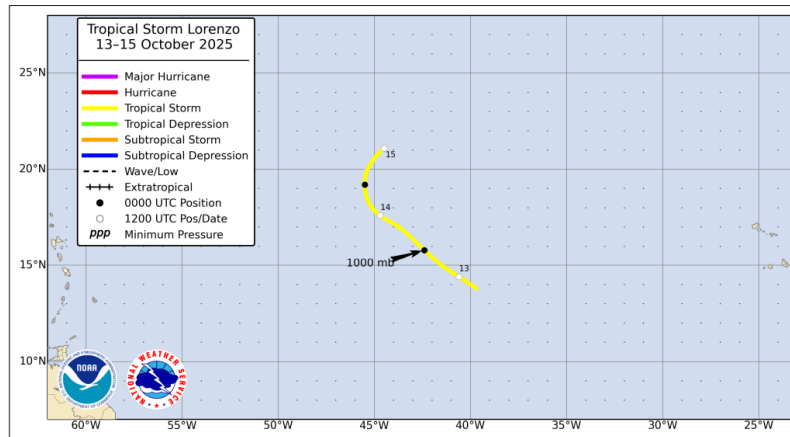


Fig.25.- Trayectoria tormenta tropical Lorenzo.

No hubo reportes de daños o muertes asociados con Lorenzo.

### 2.13.- Huracán Melissa.-



Fig.26.- Imagen GEOCOLOR GOES-EAST del huracán Melissa cerca hacer impacto en Jamaica a las 1400 utc del 28 de octubre 2026. Imagen cortesía NOAA/CIRA/CSU.

Melissa, uno de los huracanes mas fuertes en desarrollarse en la cuenca Atlantica, alcanzando la intensidad de categoría 5, de acuerdo a la Escala de Intensidad de Huracanes Saffir-Simpson, con una presión mínima central de 892 milibares y que llevo vientos catastróficos e impactos de marea de tormenta a los sectores oeste de Jamaica. El lento movimiento de Melissa también produjo fuertes lluvias e inundaciones catastróficas a través de Las Antillas Mayores. Al instante de este reporte, Melissa fue responsable de 95 fatalidades.

El origen de Melissa pudo haber estado relacionado con el transito de una activa onda tropical que salió de la costa occidental de Africa el 13 de octubre y que se movió rápidamente hacia el oeste a través del Atlántico tropical entre unos 25 y 35 kph en los siguientes días. El lento desplazamiento del disturbio mientras se movía sobre Las

Antillas Menores, Las Islas Virgenes, y Puerto Rico entre el 19 y 20 de octubre, y que en ese momento el sistema genero una amplia zona de aguaceros y tormentas acompañada por vientos rafagosos y fuertes lluvias. La organización de la onda mejoro gradualmente el 20 de octubre, y datos de vientos derivados de satélites ese día, indicaron que el sistema estaba ya produciendo vientos con intensidad de tormenta, a pesar de que carecía de un centro bien definido a nivel bajo. A pesar de la presencia de vientos cortantes moderados del oeste, el sistema continuó generando una profunda convección, y pudo cerrar su circulación con buena definición a nivel bajo a las 0600 utc del 21 de octubre, marcando la formación de la tormenta tropical Melissa cuando se ubicaba a unos 510 km al sur de Puerto Principe, Haití. El sistema estuvo produciendo vientos máximos sostenidos de 75 kph en el momento de su génesis.

Entre el 22 y 24 de octubre, Melissa permaneció dentro de una región de débil corriente en una cuña de nivel medio y una vaguada sobre el oeste del mar Caribe, lo cual provoco que la tormenta zizagueara lentamente hacia el noroeste. Persistentes vientos cortantes moderados del suroeste desplazaron la mayor parte de la convección al este del centro de nivel bajo, limitando su intensificación. Mas luego el 24 de octubre y durante el siguiente día, la cortante empezó a debilitarse y Melissa se torno mucho mas organizada con una circulación verticalmente mas alineada. Un centro denso nuboso se desarrolló y una profunda convección envolvió al centro, lo cual apoyo una intensificación adicional durante la siguiente mañana, y Melissa se convirtió en huracán a las 1800 utc del 25 de octubre, pero luego giro hacia el norte y luego hacia el oeste el 25 de octubre, mientras una estrecha cuña de nivel medio se fortalecía al norte del sistema.

A continuación, una rápida intensificación se produjo mientras Melissa se movía sobre aguas muy cálidas con alto contenido de calor latente oceánico. Imágenes de microwave, mostraron que el núcleo interno se tornó mucho más organizado con una evidente pared de ojo, mas adelante el 25 de octubre. Datos del avión de reconocimiento confirmaron esas observaciones, mostrando una rápida caída en la presión central, incrementándose los vientos a nivel de vuelo, y un radio contraído de vientos máximos. A las 0600 utc del 26 de octubre, el ciclón se había intensificado con vientos de 85 kph en 24 horas para convertirse en un huracán intenso. La intensificación de Melissa continuo con un evidente ojo de unos 18 km de diámetro, y el huracán alcanzo una intensidad máxima de 220 kph, huracán categoría 4 de acuerdo a la escala de intensidad de huracanes Saffir-Simpson, a las 1800 utc de ese día, cuando se localizaba al sur de Jamaica. Una intensificación adicional se produjo mientras Melissa continuaba moviéndose lentamente hacia el oeste, y datos de un avión de reconocimiento indicaron que el huracán había alcanzado la intensidad de categoría 5 a las 1200 utc del 27 de octubre, cuando se ubicada a unos 220 km al suroeste de Kingston, Jamaica.

La corriente de vientos apoyada por la cuña que movió lentamente hacia el oeste a Melissa, empezó a debilitarse, así como la vaguada se movía a través del golfo de Mexico y que se acercaba al oeste del mar Caribe mas adelante el 27 de octubre. Este patrón provoco que Melissa girara hacia el nor/noreste. Mientras datos basados en el radar terrestre de Jamaica mostraron signos de ciclo de reemplazo de la pared del ojo, la estructura de doble pared del ojo fue transitoria en el radar, y los datos del avión nunca mostraron la formación de vientos exteriores máximos.

En la mañana del 28 de octubre, el diámetro del ojo había crecido ligeramente en unos 30 km con notables múltiples mesovortices, y datos satelitales de detección de rayos

revelaron una cantidad inmensa de relámpagos que ocurrían en la pared del ojo a una proporción de destellos por cada 30 minutos. Datos del avión de reconocimiento mostraron que Melissa aún estaba intensificándose mientras se acercaba a Jamaica y a las 1200 utc del 28 de octubre, Melissa alcanzaba una intensidad máxima de 305 kph, haciendo a Melissa como uno de los huracanes mas fuertes que se han registrado en la cuenca del Atlántico. Datos de una dropsonda lanzada desde el avión cazahuracán de la Reserva de La Fuerza Aerea de los Estados Unidos, indicaron que la presión había caído hasta 892 milibares. En el momento de la intensidad máxima, Melissa estuvo localizada a unos 75 km al sur/suroeste de New Hope, Jamaica.

En las ultimas horas antes de hacer impacto, el núcleo del huracán empezó a interactuar con el suroeste de Jamaica, lo cual provoco que la imagen satelital no detectara bien la estructura de Melissa. El ojo anteriormente claro, comenzó a llenarse, y los toques nubosos se tornaron cálidos como se apreciaban en las imágenes satelitales. Melissa hizo impacto como un huracán categoría 5 con vientos estimados de 295 kph, cerca de New Hope, Jamaica, alrededor de las 1725 utc del 28 de octubre. Con esta intensidad, Melissa se convirtió en el huracán más fuerte en hacer impacto en Jamaica, y empato con el huracán más intenso (en términos de velocidad de vientos máximos sostenidos) en hacer impacto en la cuenca Atlantica (con Dorian 2019 en las Bahamas y con el huracán de Labor Day de 1935 en Florida Keys). Así como el centro de Melissa se movió hacia el nor/noreste sobre los terrenos montañosos del oeste de Jamaica, el huracán se debilito y salió por la costa norte de la isla como un huracán categoría 3, alrededor de las 2100 utc del 28 octubre.

Melissa se movió hacia el nor/noreste entre Jamaica y Cuba con un incremento en su velocidad de desplazamiento, entre una vaguada que se aproximaba al oeste y una cuña al este. A pesar de que el corazón interno mostro signos de reorganización, el desplazamiento rápido de Melissa y el tiempo limitado sobre aguas entre Jamaica y Cuba dio como resultado pocos cambios en su intensidad antes de que el huracán hiciera impacto cerca de la ciudad de Chivirico, Santiago de Cuba, a las 0720 utc del 29 de octubre con una intensidad estimada de 185 kph, categoría 3 y una presión central estimada de 954 milibares. El centro de Melissa salió por la costa norte de Cuba alrededor de las 1300 utc del 29 de octubre como un huracán categoría 1 con vientos estimados de 150 kph.

Una vez sobre el Atlántico suroeste, Melissa acelero hacia el noreste dirigiéndose al sureste de Bahamas. El rápido movimiento combinado con el aumento de vientos cortantes desarticuló la estructura de Melissa, con datos del Tail Doppler Radar, TDR de la NOAA, indicaron un aumento en la inclinación entre los centros de niveles bajos y medios. Como resultado, los vientos fuertes y las lluvias intensas se desplazaron al norte y este del centro de nivel bajo. Los campos de vientos exteriores del huracán también empezaron a expandirse en ese momento. Melissa hizo su primer impacto en Bahamas en Long Island a las 2215 utc del 29 de octubre con una intensidad de 150 kph. La tormenta hizo su segundo impacto a las 0200 utc del 30 de octubre en la Isla de San Salvador con la misma intensidad. Durante la mañana del 30 de octubre, una explosiva convección provoco que el huracán brevemente se reintensificara. Imágenes satelitales mostraron que el ojo se torno mejor definido, mientras datos del avión de reconocimiento indicaron que Melissa alcanzo una intensidad de 165 kph alrededor de las 1200 utc del 30 de octubre cuando se ubicaba a unos 480 km al norte del sureste de Bahamas.

Así como el huracán se movió a través del Atlántico occidental, su velocidad de desplazamiento de incremento a unos 75 kph. La cortante vertical de vientos también aumentó y el sistema se movió sobre temperaturas de la superficie del mar frescas, lo cual origino un gradual debilitamiento de los vientos máximos, mientras el cambio de vientos continuaba expandiéndose. El centro de Melissa paso alrededor de unos 220 km al oeste/noroeste de Bermuda a primeras horas de la mañana del 31 de octubre, llevando vientos máximos sostenidos con intensidad de tormenta tropical y vientos rafagosos con intensidad de huracán a esa isla.

Melissa rápidamente perdió características tropicales mientras transitaba sobre aguas mayormente más frescas al norte de Bermuda, y se convirtió en un ciclón extratropical a las 1200 utc del 31 de octubre cuando se ubicaba a unos 645 km al nor/noreste de Bermuda. El movimiento rápido del ciclón extratropical hicieron que degenerara en una vaguada a las 1200 utc del 1 de noviembre, mientras pasaba al sureste de Newfoundland. Los remanentes de Melissa salieron con una amplia vaguada baroclinica sobre el Atlántico norte más tarde ese día.

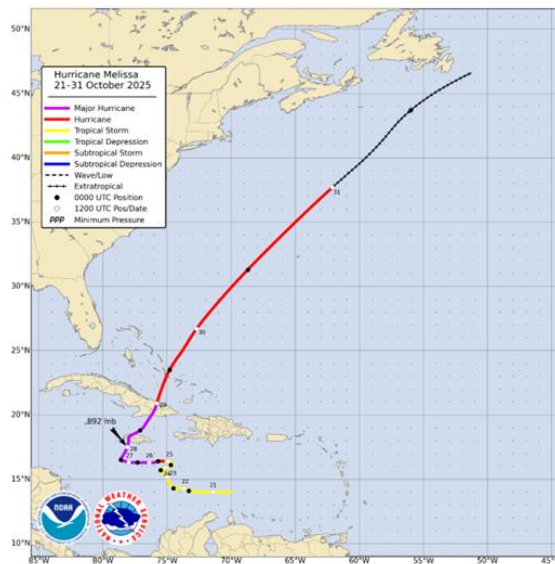


Fig.27.- Trayectoria del huracán Melissa entre el 21 al 31 de octubre 2026.

Al momento de este reporte, Melissa de manera preliminar había sido responsable al menos de 95 muertes. Otras muertas directas o indirectas no se conocían aún, sin embargo, muchas de esas muertes probablemente fueron atribuidas directamente a vientos del ciclón, lluvias y marea de tormentas.

La distribución de muertes por país es como sigue: Jamaica 45, Haití 43, República Dominicana 4, Cuba 1 y otros lugares 2.

### Jamaica. -

Las zonas del suroeste de Jamaica que sufrieron el impacto directo de Melissa incluyeron las parroquias de St. Elizabeth, St. James, Trelawny, Westmoreland, Hanover y Manchester, donde los daños estructurales fueron extremos y generalizados. Los fuertes vientos destruyeron prácticamente todas las estructuras de madera, arrancaron los techos de la mayoría de los edificios e incluso causaron graves daños a las construcciones de

hormigón. La vegetación sufrió daños extremos no solo cerca de la costa, sino también en las zonas montañosas de todo el oeste de Jamaica a medida que el ojo del huracán pasaba sobre la isla. Los árboles de la zona quedaron completamente defoliados, y en varios lugares la fuerza del viento fue suficiente para arrancar la corteza de los troncos y la pintura de paredes y edificios. En localidades costeras como New Hope, Crawford y Black River, el impacto fue especialmente grave, y casi todos los tejados de las casas de la zona salieron volando, dejándolas inhabitables. Los servicios públicos y la infraestructura crítica se vieron gravemente afectados. Varios hospitales sufrieron graves daños estructurales, sobre todo en las parroquias occidentales y meridionales, y algunos quedaron fuera de servicio, lo que redujo significativamente la capacidad de la isla para prestar atención médica y servicios de urgencia.

Tras el paso de la tormenta, vastas zonas de Jamaica quedaron anegadas por inundaciones pluviales y rurales. En muchas parroquias bajas o propensas a inundaciones en el sur y el oeste de la isla, comunidades enteras quedaron sumergidas. Los deslizamientos de tierra y las inundaciones repentinas desestabilizaron el terreno, haciendo que las laderas fueran inseguras y causando graves problemas de movilidad y acceso. Carreteras, puentes y redes de transporte quedaron inundados, arrasados o bloqueados por deslizamientos de tierra y escombros, lo que hizo inaccesibles muchas zonas. Los deslizamientos de tierra y los flujos de escombros y de basuras afectaron a Blue Mountain y a varias parroquias del oeste y del interior, con graves inundaciones que afectaron a St. Elizabeth, Manchester y sus alrededores. Las redes de comunicación se vieron gravemente afectadas y los cortes de electricidad afectaron a una parte considerable de la población.

Más allá de las viviendas y la infraestructura, los sectores económico y agrícola sufrieron grandes pérdidas. Según declaraciones del Ministro de Agricultura, Pesca y Minería de Jamaica, aproximadamente 41.390 hectáreas de tierras agrícolas resultaron afectadas. Más de 70.000 agricultores, incluidos aquellos que dependen del cultivo de hortalizas, vides y otros cultivos, sufrieron pérdidas, siendo cultivos clave como el tomate, la lechuga, la zanahoria, el pimiento, el melón y el cantalupo los más perjudicados. El sector cafetalero sufrió daños en cerca del 40% de los árboles, con una pérdida de producción del 45%, estimada en 833,8 millones de dólares. El sector ganadero también sufrió grandes pérdidas, con más de 1,25 millones de animales muertos, incluyendo aves de corral, pequeños rumiantes y ganado vacuno. Las instalaciones de pesca y acuicultura, las piscifactorías y la infraestructura relacionada también sufrieron graves daños, lo que afectó tanto al suministro local de alimentos como a los ingresos.

Al 19 de noviembre de 2025, los daños materiales estimados a edificios, viviendas, infraestructura y agricultura en Jamaica ascendían a 8.800 millones de dólares estadounidenses, según estimaciones del Director del Banco Mundial para el Caribe. Esta cifra representa el 41% del producto interno bruto de Jamaica para 2024. La magnitud de la destrucción se considera una de las peores jamás registradas en Jamaica. Los daños a la infraestructura, el derrumbe de viviendas, la destrucción de hospitales, la interrupción de carreteras, las inundaciones y los cortes de energía se combinaron para generar una crisis humanitaria a nivel nacional, cuyas operaciones de recuperación y socorro aún continúan al momento de redactar este informe.

Funcionarios del gobierno de Jamaica informaron que Melissa causó 45 muertes. La parroquia de St. Elizabeth, al suroeste del país, registró el mayor número de fallecimientos relacionados con la tormenta, con 18 víctimas mortales, seguida de Westmoreland, con

15. No se dispone de un desglose detallado de las causas de las muertes, por lo que no está claro cuántas de las muertes reportadas fueron consecuencia directa del huracán y cuántas se debieron a causas indirectas.

A medida que las aguas retrocedían, surgieron riesgos para la salud pública debido a las aguas estancadas y contaminadas que interrumpieron los sistemas de saneamiento y crearon condiciones favorables para el brote de enfermedades transmitidas por el agua. En las semanas posteriores al huracán, el gobierno confirmó un brote de leptospirosis (una infección bacteriana que se propaga a través del agua o el suelo contaminado), con casos confirmados y sospechosos vinculados a la exposición durante las operaciones de limpieza y recuperación. Jamaica declaró una emergencia sanitaria, con múltiples fallecimientos atribuidos al brote. Se desconoce el número de muertes relacionadas con estos brotes hasta la fecha.

### **Haití. -**

Melissa causó estragos en todo Haití debido a las intensas lluvias prolongadas y las inundaciones generalizadas. Decenas de miles de residentes se vieron obligados a abandonar sus hogares, muchos de ellos refugiándose en escuelas y edificios públicos. Miles de viviendas resultaron dañadas o destruidas, mientras que carreteras y puentes quedaron arrasados, aislando varias zonas y dificultando las operaciones de socorro. Las inundaciones también interrumpieron los servicios de salud y dañaron los sistemas de agua potable y saneamiento, aumentando el riesgo de enfermedades transmitidas por el agua. Las pérdidas agrícolas fueron cuantiosas, con cultivos y sistemas de riego dañados, lo que amenaza aún más la seguridad alimentaria en regiones ya vulnerables.

El gobierno de Haití informó de al menos 43 fallecidos y varias personas desaparecidas. Una de las comunidades más afectadas fue la ciudad costera de Petit-Goâve, en el suroeste del país, donde se produjeron 25 de esas muertes. Hasta la fecha, se desconocen las causas de estos fallecimientos.

### **República Dominicana. -**

Las fuertes lluvias provocadas por Melissa causaron inundaciones generalizadas y daños a la infraestructura en varias provincias de la República Dominicana. Los informes oficiales documentaron inundaciones asociadas con el desbordamiento de ríos, arroyos y canales de drenaje, particularmente en las provincias del sur y suroeste. A nivel nacional, 823 viviendas resultaron inundadas, 21 parcialmente afectadas y 2 destruidas. Las inundaciones también interrumpieron el suministro de agua, dejando 29 acueductos completamente fuera de servicio, lo que afectó a aproximadamente 250.000 usuarios. Los impactos localizados incluyeron la caída de árboles y obstrucciones en las carreteras de Barahona y Bahoruco, pero no se reportaron heridos. En San José de Ocoa, el desbordamiento de arroyos y quebradas inundaron varias viviendas, desplazaron a residentes en varios barrios y obstruyó temporalmente las vías. En Peravia, el desbordamiento del arroyo Cañada 30 de Mayo, provocó la inundación de 16 viviendas. Diversos medios de comunicación reportaron cuatro fallecimientos relacionados con el huracán Melissa, incluyendo el de un hombre de 71 años que fue arrastrado por la corriente de una quebrada y se ahogó.

## **Cuba. -**

Melissa provocó fuertes lluvias e inundaciones, una marejada ciclónica devastadora y vientos destructivos en algunas zonas del este de Cuba. Estas fueron algunas de las mismas áreas afectadas por las fuertes lluvias e inundaciones causadas por la perturbación que se convirtió en el huracán Imelda aproximadamente un mes antes. Melissa causó daños considerables, inundaciones y deslizamientos de tierra catastróficos en todo el este de Cuba. Las calles quedaron cubiertas de escombros, con árboles arrancados de raíz, techos de casas destrozados e inundaciones en pueblos enteros, con más de 900.000 viviendas dañadas o destruidas. La marejada ciclónica en Guama causó graves daños estructurales. La región perdió gran parte de sus servicios de electricidad y comunicaciones. En la provincia de Santiago de Cuba, los daños a las viviendas fueron particularmente graves, con 95.000 viviendas afectadas, 2.300 derrumbes totales y 6.000 techos completamente destruidos. Una refinería de petróleo en Santiago de Cuba también sufrió daños, al igual que hospitales y centros médicos. El aeropuerto Antonio Maceo sufrió daños y tardó varias semanas en reabrirse. Los daños en la agricultura se estimaron en 158.000 hectáreas, y se perdieron cientos de cabezas de ganado. Los deslizamientos de tierra y el desbordamiento de los ríos, especialmente en la cuenca del río Cauto, provocaron el aislamiento prolongado de varias comunidades.

En la base naval estadounidense de la Bahía de Guantánamo, se registraron varios árboles caídos y viviendas consideradas inhabitables debido a los daños. También hubo daños por agua debido a las carreteras inundadas, y los servicios de electricidad y de agua estuvieron interrumpidos durante aproximadamente un día.

Al momento de redactar este informe, se ha reportado una muerte a causa por las inundaciones fluviales a través de los medios de comunicación.

## **Bahamas. -**

Melissa comenzó a afectar el sureste de las Bahamas el 29 de octubre, provocando vientos huracanados, fuertes lluvias e inundaciones, principalmente en la zona sureste del archipiélago.

A través de la región, se arrancaron árboles de raíz y varios postes de electricidad cayeron, causando cortes de energía. Los fuertes vientos dañaron los techos de muchas viviendas. Al tocar tierra en Long Island, las intensas lluvias y la marejada ciclónica inundaron el aeropuerto de Deadman's Cay. Varias carreteras quedaron intransitables debido a los escombros y a las inundaciones. La central eléctrica de Long Island sufrió graves daños. En la isla de San Salvador, donde Melissa tocó tierra por segunda vez, se registraron 18 postes de electricidad caídos, dejando a la isla sin luz y con servicios de comunicación deficientes.

## **Bermuda. -**

En Bermudas, los efectos del huracán fueron generalmente menores, consistiendo principalmente en escombros dispersos, líneas eléctricas caídas y varios postes de luz derribados por los fuertes vientos. Esto provocó cortes de luz en algunas zonas de la isla. No se reportaron víctimas mortales relacionadas con Melissa en Bermudas.

### **Otros impactos en islas. -**

Las Islas Turcas y Caicos experimentaron bandas de lluvia exteriores con vientos fuertes y chubascos intensos, pero no se reportaron daños. En Puerto Rico, las bandas de lluvia exteriores de la incipiente perturbación de Melissa produjeron vientos fuertes con algunas líneas eléctricas caídas y daños a árboles reportados en Yauco, Peñuelas, Bayamón y Cabo Rojo. Funcionarios de gestión de emergencias reportaron inundaciones en el área de María Antonia en Guánica, así como en la Calle San Tomás en Ponce. Las inundaciones cubrieron varias carreteras, pero no se reportaron daños estructurales. Durante las labores de recuperación tras Melissa, una avioneta con destino a una misión de ayuda humanitaria en Jamaica, se estrelló en Coral Springs, Florida, el 10 de noviembre, poco después de despegar del Aeropuerto Ejecutivo de Fort Lauderdale, causando la muerte de dos ocupantes. Estas dos muertes se consideran muertes indirectas asociadas con Melissa.

### **3.- Características más notables de la temporada 2025.-**

- Se formaron 5 huracanes en el Atlántico. Esta es la menor cantidad de huracanes que se han formado en una sola temporada desde 2015, cuando se formaron 4 huracanes.
- 3 huracanes alcanzaron la categoría 5 (Erin, Humberto y Melissa). Esta es la segunda mayor cantidad registrada en el Atlántico, solo superada por el 2005, cuando se formaron 4 huracanes de categoría 5. Ninguna otra temporada ha tenido más de 2 huracanes de categoría 5.
- Se registraron 11,5 días de huracanes intensos en el Atlántico. Esta es la mayor cantidad desde 2021 y la novena mayor en la era activa del Atlántico, que comenzó en 1995.
- Solo la tormenta tropical Chantal tocó el sureste de los Estados Unidos, sin embargo, ningún huracán tocó tierra en el territorio continental de EE. UU. este año. La última temporada sin huracanes en el territorio continental de EE. UU. fue la de 2015.
- Se generaron 133 días de huracanes intensos durante 2025, lo que la convierte en una temporada superior a lo normal según la definición de la NOAA. Nueve de las últimas 10 temporadas de huracanes del Atlántico han sido superiores a lo normal o extremadamente activas según la definición de la NOAA, con la única excepción de 2022, clasificada como una temporada normal.
- No se formaron tormentas con nombre en el Atlántico entre el 24 de agosto y el 16 de septiembre. La última vez que esto ocurrió fue en 1992. Antes de 1992, la última vez que no se formaron tormentas con nombre ocurrió entre el 24 de agosto y el 16 de septiembre de 1939.
- No se formaron huracanes en el Atlántico entre el 16 de agosto y el 20 de septiembre. La última vez que esto ocurrió fue en 1956.

- No se produjo ninguna Energía Ciclónica Acumulada (ACE por sus siglas en inglés), en el Atlántico entre el 29 de agosto y el 16 de septiembre. La última vez que esto ocurrió fue en 1992.
- El Atlántico solo tuvo un huracán hasta el 21 de septiembre. Esta es la primera vez desde 1994 que solo se registró un huracán hasta el 21 de septiembre.
- El Atlántico solo tuvo seis formaciones de tormentas con nombre hasta el 16 de septiembre. La última temporada con menos de seis formaciones de tormentas con nombre hasta el 16 de septiembre fue la de 2014.
- No se generó ninguna Energía Ciclónica Acumulada (ACE por sus siglas en inglés), en el Caribe hasta el 20 de octubre, es la primera vez que esto ocurre desde 1997.
- Se generaron 93 unidades de Energía Ciclónica Acumulada (ACE, por sus siglas en Inglés), en el Atlántico desde el 17 de septiembre, la quinta mayor cantidad registrada a partir del 17 de septiembre en la era satelital (desde 1966).
- Cuatro tormentas (Erin, Gabrielle, Humberto y Melissa) experimentaron una intensificación extremadamente rápida (más de 50 nudos en 24 horas). 2025 igualó a 2005, 2008 y 2020 como las tormentas con mayor intensidad de más de 50 nudos en 24 horas.
- La tasa máxima de intensificación del huracán Erin fue de más de 75 nudos en 24 horas. Esto iguala a Matthew (2016) como el cuarto huracán en 24 horas de intensificación más rápida registrado en el Atlántico, detrás de Wilma (2005; 95 nudos en 24 horas), Felix (2007; 85 nudos en 24 horas) y Milton (2024; 80 nudos en 24 horas).
- La presión más baja del huracán Erin fue de 915 milibares, la más baja para un huracán del Atlántico durante agosto desde Dean (2007; 905 mb).
- La presión más baja del huracán Humberto fue de 924 milibares, la más baja registrada para un huracán en el Atlántico durante septiembre, desde Dorian (2019; 910 mb).
- La presión más baja del huracán Melissa fue de 892 mb, igualando con el huracán del Día del Trabajo (1935), como la tercera más baja registrada para un huracán en el Atlántico, por detrás de Wilma (2005, 882 mb) y Gilbert (1988, 888 mb).
- Los vientos más fuertes del huracán Melissa alcanzaron los 160 nudos, solo superados por Allen (1980; 165 nudos), como los más fuertes registrados para un huracán en el Atlántico. Melissa está empatado con varios otros huracanes del Atlántico con vientos máximos sostenidos de 160 nudos.
- La llegada del huracán Melissa a Jamaica con 295 kph igualó con los vientos más fuertes registrados para un huracán en el Atlántico. Melissa empató con el huracán del Día del Trabajo (1935) en los Cayos de Florida y con Dorian (2019) en la isla Ábaco de las Bahamas.
- La presión de 892 mb del huracán Melissa igualó con la del huracán del Día del Trabajo (1935) en los Cayos de Florida, como el huracán que tocó tierra más fuerte por la presión más baja.

### **Referencias Bibliográficas.-**

- Tropical Cyclones Reports, National Hurricane Center.
- Colorado State University Research.

**Ing. Andrés M. Campusano**  
**Subdirector Técnico INDOMET**  
**Marzo 2026**